

İki Boyutlu Wiener Yöntemi İle Aşağı ve Yukarı Analitik Uzanımların Düzenleme ve Uygulamaları (*)

DESIGN AND APPLICATION OF THE DOWNWARD AND UPWARD
CONTINUATIONS BY THE TWO - DIMENSIONAL
WIENER FILTER TECHNIQUE

İbrahim KARA

İ.Ü. Mühendislik Fakültesi Jeofizik Bölümü

ÖZET : Bu çalışmada, korrelasyon fonksiyonlarının özelliklerinden yararlanılarak yapılan Wiener Filtre tekniği ile, gravite ve manyetik alanlarda kullanılan iki boyutlu analitik uzanım katsayılarının hazırlanıp uygulanabileceği gösterilmiştir. Homojen bir ortam içerisinde, yeryüzünden belirli derinliklerde bulunan iki ayrı noktasal kütle alınarak, bu kütlelerin yeryüzünde meydana getirdikleri gravite kuvvet etkileri ayrı ayrı hesaplanmıştır. Hesaplanan bu gravite etkisinden yararlanılarak, sismik yöntemlerde tek boyutlu olarak kullanılan sayısal Wiener Filtresine benzer şekilde, gravite ve manyetik yöntemlerde kullanılan iki boyutlu aşağı ve yukarı doğru analitik uzanım katsayıları elde edilmiştir. Bu katsayılar, yeryüzünden itibaren belirli derinliklerde alınan küre, silindir ve fay gibi geometrik yapılara, ve ayrıca geometrik olmayan heterojen cisimlere uygulanarak, belirli uzanım seviyelerinde, bu kütlelerin meydana getirdikleri etkiler hesaplanmıştır. Bundan başka, analitik uzanım ile bulunması gereken değerler, teorik olarak hesaplanılarak, elde edilen analitik uzanım katsayılarının doğruluğu kontrol edilmiştir.

Ayrıca, kıyaslama yapmak maksadı ile, yukarıda sözü edilen kütlelere aynı seviyelerde Peters, Fuller ve Henderson'un uzanım katsayıları da uygulanmıştır. Bu uygulamaların neticelerinin karşılaştırılmasında, çalışmamızda elde edilen katsayıların, Fuller ve Peters'in katsayılarından daha iyi sonuç verdiği Henderson'ununkinden ise daha kullanışlı ve ekonomik olduğu tesbit edilmiştir.

ABSTRACT : In this work, it have been shown that, it is possible to prepare and apply a new two - dimensional coefficient indexes for gravity and magnetic field measurements with the aid of some features of correlation functions adopted from Wiener filter technique. Taking two different mass - points within a volum of uniform density in certain depths below the earth's surface, their effects to the surface are computed for each point. The two - dimensional downward and upward coefficient indexes for analytical continuation in the gravity and magnetic field values have been established by the effects of gravity action of these mass - points, in a very similar way as for the digital Wiener filtering (mono - dimensional) method of seismic work. The resultant corresponding effects in the certain continuation levels are calculated by applying these coefficient indexes both to the geometrical structures (such as spheres, cylinders and faults) and to the heterogeneous bodies without certain geometrical shapes which all are taken from the certain depths. Additionaly, as a confirmatory process, the derived analytical continuation coefficients are checked by the computed theoretical values of analytical continuation.

Also, to obtain some comparative ground, Peters', Fuller's and Henderson's coefficient indexes are applied to the given structures. The resulting estimations for the analytical continuation in the same level, thus leding to the conclusion that the outcomes of the repetitive application of the new two - dimensional coefficient indexes introduced in the present work, are better in products than those of Fuller's and Peters' and also more economic and feasible of Henderson's.

* Bu yayın, İstanbul Üniversitesi Fen Fakültesinde (1982) yapılan doktora tezinin özettir.

G İ R İ Ş

Uygulamalı jeofizik sahasında yer alan gravite ve manyetik alan ölçülerinden elde edilen veriler, bir potansiyel alanına ait büyüklüklerdir. İki boyutlu olarak elde edilen bu veriler, bir düzlem üzerinde fiziksel bir büyüklüğün dağılımı ile ilgili olarak bilgiler verirler. Bu fiziksel büyüklüğün, bir düzlem üzerindeki eşdeğerlere sahip olan noktalarından eğriler geçirilerek, o büyüklüğün eş potansiyel eğrilerinin haritası elde edilmiş olunur. Böyle haritalara, gravite prospeksiyonunda Bouguer gravite anomali haritaları, manyetik prospeksiyonunda ise manyetik anomali haritaları adı verilir. Bu anomali haritaları, yeraltında bulunan tek bir kütlelenin etkisinden ileri gelmeyip, çeşitli büyüklük ve derinliklerde bulunan dağılık birçok kütlelenin hasıl ettiği gravite veya manyetik kuvvet alanının etkilerinden ileri gelmektedirler.

Sözü edilen bu haritalar, rezidüel ve rejiyonal olmak üzere iki kısımdan oluşmaktadır. Rezidüel anomaliler, yeryüzüne yakın olan kütlelerin tesirlerinden ileri gelip, gravite ve manyetik prospeksiyonunda önemlidirler. Ekonomik değere sahip olan bu anomalilerin kaynağı, jeolojik rezervler (maden, petrol yatakları ve akiferlerin bulunduğu jeolojik yapılar) olup, küçük sahalara yayılırlar. Rejiyonal anomaliler ise, yer kabuğunun derinliklerindeki yoğunluk ve süseptibilite farklarından ileri geldikleri için geniş alanlara yayılırlar.

Aynı Bouguer ve manyetik anomalilerini veren jeolojik yapı veya kütle dağılımı, sonsuz şekillerle yapılabilir. İşte bu zorluğu gidermek üzere, yeryüzüne yakın ve uzak olan jeolojik yapıların birbiri üzerine binmiş olan bu anomalilerinin, birbirlerinden ayrılması gerekmektedir. Zaten çalışmamızın ana gâyesi de, bu ayrımı yapmayı sağlamaktır.

Bu maksatla çalışmamızda kullanılan fonksiyonun çift fonksiyon olması, hem uzanım katsayılarının bulunmasında, hem de uygulama alanında önemli kolaylıklar sağlamaktadır.

Geliştirilmiş olunan bu çalışmadaki yöntemle, yeryüzünden yukarı ve aşağı doğru ka-

deme kademe ilerliyerek, istediğimiz jeolojik yapıya inilebilir. Her inilen kademede, inilen seviyenin üzerinde bozucu kütlelenin olmaması gerekir. Yeni çizilen uzanım haritaları üzerinde, inilen seviyelerin altında kalan kütlelerin gravite etkisi kalır. Bu işleme, her aşağı uzanım halinde aynı şekilde devam edilerek, istenilen derinliğe kadar inilebilir. Böylece, her yeni uzanım için elde edilen yeni haritalardan, uzanım seviyesinin altında kalan yeraltının tektonik yapısı hakkında, önemli bilgiler elde edilir.

Gravitede rezidüel olarak bilinen türev ve uzanım işlemleri, sayısal filtrelerin meydana getirdiklerine denktir. Bunlarla ilgili ilk bilgiler, Norbert Wiener (1949), Bullard ve Cooper (1948 Fourier serileri metodunu, aşağı analitik uzanım için kullanmışlardır), Peters (1949), Henderson ve Ziets (1949) ile başlar. Daha sonraları bu konuda çok çeşitli yayınlar yapılmıştır. Nettleton (1954) gravite ve manyetik işlemlerde filtre etkisinden bahsetmiştir. Swartz (1954) Fourier integrali ve Fourier serisi metodunu, Tomada ve Aki (1955) Fourier serisinden yararlanarak, aşağı analitik uzanım için filtre teorisi metodunu geliştirmişlerdir. Dean (1958), gravite ve manyetizma çalışmaları için, lineer filtre teorisini geliştirmiş, ve bu teorinin uygulaması olarak aşağı uzanımı incelemiştir. Robinson ve Treitel (1964) sayısal filtrelerin prensiplerini vermişler, Mesko (1965) ikinci türev ve rezidüeller için frekans cevaplarını ortaya koymuştur. Odegard ve Berg (1965) bazı geometrik yapıların, Fourier analizi ile derinlik ve atım gibi parametrelerini bulmuşlardır. Darby ve Davies (1967), Zulfluef (1967) iki boyutlu filtrelerle ilgili geniş bilgiler vermişlerdir. Gunn (1972), Wiener filtresinin gravite ve manyetik verilere uygulanabileceğini belirtmiştir. Sanver (1975), Hankel integral çiftinden yararlanarak düzenlediği filtreleri, Ege bölgesinin havadan manyetik haritasına uygulamıştır. Özdemir (1977), Alçak geçişli filtrelerle, Gönen - Manyas bölgesinin Bouguer gravite haritasını filtrelemiştir. Özdemir (1978), Fourier dönüşümlerini kullanarak elde ettiği filtreleri, Tuz gölü bölgesinin gravite haritasına uygulamıştır.

Bu çalışmada da, Wiener Filtre tekniğinden yararlanılarak elde edilen aşağı ve yukarı analitik uzanım katsayıları, çeşitli geometrik yapıların vermiş olduğu haritalara uygulanarak, teorik değerlere çok yakın neticeler elde edilmiştir.

TEMEL İLKELER

Filtre işlemlerinde tek ve çift boyutlu sürekli veriler, belirli aralıklarla sayısal hale dönüştürülürler. Bu dönüşüm yapılırken, verilerin özelliklerini kaybetmemeleri için veri aralığının, kayıt edilmiş verilerin özelliklerini taşıyacak şekilde seçilmesi gerekir. Veri aralıkları yatay Δx ve düşey Δy ile gösterildiğine göre $\Delta x = \Delta y \leq \frac{1}{2f_n}$ Nyquist şartına uymalıdır. Burada f_n , gravite veya manyetik fonksiyonun belirlendiği aralıkta frekans spektrumunun sahip olduğu maksimum frekans veya dalga sayısıdır. Veri aralıklarının küçük olmasının işlemi arttırmaktan başka hiçbir sakıncası olmamasına rağmen, büyük olmasının birçok sakıncaları görülür. Bu sakıncaların en önemlisi «Aliassing» olayının meydana gelmesidir (Bak. W.C. Clement, 1973).

Analitik uzanımlar, türevler ve filtrelerin elde edilmeleri ve arazi uygulamalarında konvolüsyon integralinin özelliklerinden yararlanır. Matematiksel olarak verilen iki sinyal $g_1(t)$ ve $g_2(t)$ ile gösterilirse, bunların konvolüsyonu,

$$h(\tau) = \int_{-\infty}^{\infty} g_1(t) \cdot g_2(\tau - t) dt \quad (1)$$

integrali ile tanımlanır. Bu integral sembolik olarak

$$h(\tau) = g_1(t) * g_2(t)$$

şeklinde yazılır. (1) denkleminde $(\tau - t)$ yerine (t') konulursa

$$h(\tau) = \int_{-\infty}^{\infty} g_1(\tau - t') g_2(t') dt' = \int_{-\infty}^{\infty} g_1(\tau - t) \cdot g_2(t) dt$$

elde edilir. Bu, konvolüsyon işleminin komu-

tatif olduğunu gösterir. Buna benzer şekilde, konvolüsyonun assosyatif ve distribütif özelliklerine de sahip olduğu gösterilebilir. Bu konuda, polinomlara ait olan cebrik özellikler, konvolüsyon işlemleri içinde geçerli olur.

Konvolüsyon integralinin frekans domainindeki özelliği Fourier integral dönüşümü ile incelenir.

$g_1(t)$ ve $g_2(t)$ sinyallerinin dönüşümleri $G_1(f)$ ve $G_2(f)$ ise,

$$H(f) = F[g_1(t) * g_2(t)] = G_1(f) \cdot G_2(f)$$

şeklinde olur.

Yani, zaman domenindeki konvolüsyon işlemi, frekans domenindeki çarpım işlemine eşdeğerdir. Bunun terside söylenebilir.

Zaman domenindeki ayırık sayısal filtreleme işlemi yapabilmek için, yani konvole edebilmek için, filtre operatörünü (filtre ağırlık katsayıları) ters çevirip (ayna simetriği), eşit aralıklarla ayırık (discrete) hale getirilmiş olan verilerle konvolüsyona tâbi tutmak gerekir.

Çapraz - Korrelasyon bağıntısı ise, konvolüsyon integraline benzemektedir. Matematiksel olarak $g_1(t)$ ve $g_2(t)$ farklı iki sinyal olmak üzere, çapraz - korrelasyon integrali

$$\varphi_{12}(t) = \int_{-\infty}^{\infty} g_1(t) g_2(t + \tau) dt$$

şeklinde dir.

Nümerik çapraz - korrelasyon işleminin konvolüsyon işleminden tek farkı, $g_2(t)$ fonksiyonunun ters çevrilmeden işlem yapılmasıdır.

Bu integral işleminde, konvolüsyondaki gibi çeşitli özelliklere sahiptir.

$$a) - \varphi_{12}(\tau) = \int_{-\infty}^{\infty} g_1(t) g_2(t + \tau) dt = \int_{-\infty}^{\infty} g_1(t - \tau) g_2(t) dt$$

şeklinde yazılabilir.

$$\varphi_{12}(\tau) = \varphi_{21}(-\tau)$$

dur. Ve

$$\varphi_{12}(\tau) \neq \varphi_{21}(\tau)$$

olduğundan $\varphi_{12}(\tau)$ indislerine göre simetrik değildir.

b) — Eğer, $g_1(t)$ ve $g_2(t)$ sonlu enerjiye sahip iki sinyal iseler, $s(t)$ esas sinyali, $n(t)$ ve $m(t)$ de gürültüyü (noise) göstermek üzere,

$$g_1(t) = s(t) + n(t) \text{ ve } g_2(t) = s(t) + m(t)$$

şeklinde yazılır. Korrelasyon fonksiyonunun özelliklerinden

$$\varphi_{12}(\tau) = \varphi_{ss}(\tau) + \varphi_{ns}(\tau) + \varphi_{sm}(\tau) + \varphi_{nm}(\tau)$$

$$\varphi_{11}(\tau) = \varphi_{ss}(\tau) + \varphi_{sn}(\tau) + \varphi_{ns}(\tau) + \varphi_{nn}(\tau)$$

yazılabilir. Sinyal ile gürültü arasında korrelasyon yoksa

$$\varphi_{sn}(\tau) = \varphi_{ns}(\tau) = \varphi_{sm}(\tau) = \varphi_{ms}(\tau) = \varphi_{nm}(\tau) = \varphi_{mn}(\tau) = 0$$

olduğundan,

$$\varphi_{12}(\tau) = \varphi_{ss}(\tau)$$

$$\varphi_{11}(\tau) = \varphi_{ss}(\tau) + \varphi_{nn}(\tau)$$

sonucu çıkar.

Çapraz korrelasyonda adı geçen $g_1(t)$ ve $g_2(t)$ fonksiyonları birbirlerine eşit iseler, oto-korrelasyondan söz edilir. Yani,

$$\varphi_{11}(\tau) = \int_{-\infty}^{\infty} g_1(t) g_1(t+\tau) dt$$

integraline, oto-korrelasyon integrali adı verilir. Oto-korrelasyon halinde faz farkı sıfır olduğundan $|G_1(f)| |G_2(f)| \rightarrow |G(f)|^2$ ye yaklaşır, ve fonksiyon çift olup $\tau=0$ a göre simetriktir. Böylece $\varphi_{11}(f) = |G_1(f)|^2$ şeklinde yazılabilir. Bu ifade ise $g_1(t)$ sinyalinin ener-

ji yoğunluğu spektrumunu göstermektedir. O halde

$$\int_{-\infty}^{\infty} g_1(t) g_1(t+\tau) dt = \int_{-\infty}^{\infty} |G_1(f)|^2 e^{i2\pi f\tau} . df$$

olur.

Bu ifade $\tau \rightarrow 0$ yaklaşırken, eşitliğin sol tarafı integrasyondan sonra sinyalin toplam enerjisini verdiğinden, sağ taraftaki $|G_1(f)|^2$ ifadesi enerji yoğunluğu olması gerekir.

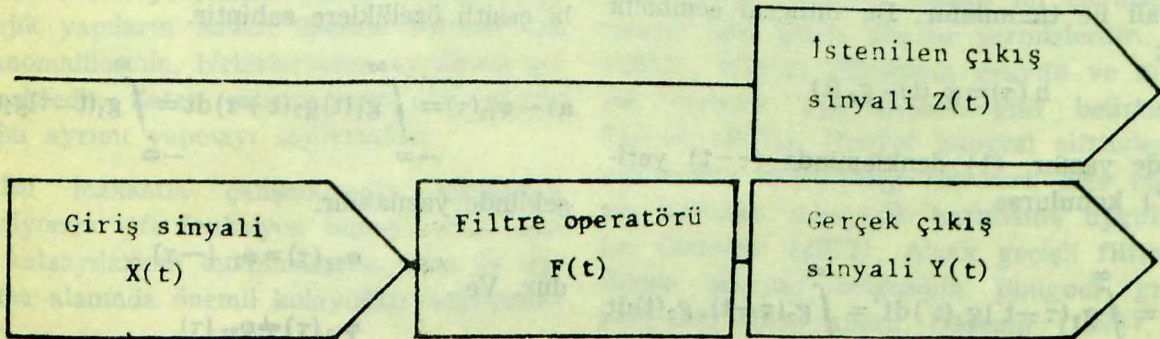
TEK BOYUTLU WIENER FİLTRESİNİN DÜZENLENMESİ

Wiener filtresinin düzenlenmesinin kolay anlaşılabilmesi için, bu düzenlemede kullanılacak olan sinyalleri şekil üzerinde göstermekte fayda vardır. Sinyallerin adlarını ve simgelerini

- a) — Giriş sinyalini X(t)
- b) — İstenilen çıkış sinyalini Z(t)
- c) — Gerçek çıkış sinyalini Y(t)
- d) — Filtre fonksiyonunu F(t)

şeklinde kabul edelim.

Gayemiz, bilinen bir giriş sinyalini, kendi tâyin edeceğimiz istenilen çıkış sinyaline çevirecek filtre katsayılarını elde etmemize yarayacak bir teknik bulmaktır. Bu teknik ile elde edilecek olan filtre katsayıları ile giriş sinyalinin konvolüsyonundan ise, gerçek çıkış sinyali elde edilmektedir. Gerçek çıkış sinyalinin, istenilen çıkış sinyali ile aynı olması gerekirken, azda olsa farklılık göstermektedir.



Şekil 1. Wiener Filtresinin Genel Modeli.

Bu fark ise, hata enerjisi olup, çalışmamızda (I) simgesi ile gösterilecektir. Adı geçen iki sinyalin birbirine benzerliği, ancak aralarındaki farkın minimuma indirilmesi ile sağlanabilir. Minimum hata enerjisi şöyle ifade edilir.

$$I = E \{ [Z_{(t)} - Y_{(t)}]^2 \} \quad (2)$$

Hata enerjisini minimum yapabilecek nümerik filtre katsayıları

$$F_{(t)} = F_{(0)}, F_{(1)}, F_{(2)}, \dots, F_{(n)}$$

şeklinde gösterilsin. Gerçek çıkış sinyali, filtre katsayıları ile giriş sinyalinin nümerik konvolüsyonu olduğuna göre

$$Y_{(t)} = X_{(t)} * F_{(t)} = \sum_{\tau=0}^n F_{(\tau)} X_{(t-\tau)}$$

dur.

Bunu (2) denkleminde yerine koyarsak, hata enerjisi

$$I = E \left\{ \left[Z_{(t)} - \sum_{\tau=0}^n F_{(\tau)} X_{(t-\tau)} \right]^2 \right\} \quad (3)$$

şeklini alır. Elde edilen bu hatanın her $F_{(\tau)}$ ($\tau=0, 1, 2, \dots, n$) filtre katsayısına göre kısmî türevi alınarak sıfıra eşitlenecek olunursa, hem hata enerjisi minimuma indirgenmiş, hem de filtre katsayılarının bulunmasını sağlayacak denklem takımı elde edilmiş olur.

Söylenene örnek olarak, (I) nin sadece $F_{(1)}$ 'e göre kısmî türevi alınrsa

$$\frac{\partial I}{\partial F_{(1)}} = 2 \left[-E \{ Z_{(t)} X_{(t-1)} \} + \sum_{\tau=0}^n F_{(\tau)} E \{ X_{(t-\tau)} X_{(t-1)} \} \right] \quad (4)$$

bulunur. Burada

$$E \{ Z_{(t)} X_{(t-1)} \}; \tau=1 \text{ için } Z_{(t)} \text{ ile } X_{(t)}$$

nin çapraz - korrelasyonunu

$$E \{ X_{(t-\tau)} X_{(t-1)} \} \text{ ise, } \tau=0, 1, 2, \dots, n$$

için $X_{(t)}$ nin oto - korrelasyonunu göstermektedir.

(4) denklemini bunlara göre düzenlersek

$$\frac{\partial I}{\partial F_{(1)}} = 2 \left[-\phi_{zx}(1) + \sum_{\tau=0}^n F_{(\tau)} \phi_{xx}(1-\tau) \right] \quad (5)$$

şeklini alır. Bu kısmî türev sıfıra eşitlenerek, çapraz - korrelasyon kısmı, eşitliğin diğer tarafına geçirilirse,

$$\sum_{\tau=0}^n F_{(\tau)} \phi_{xx}(1-\tau) = \phi_{zx}(1) \quad (6)$$

elde edilir.

Yapılan bu kısmî türev işlemi, sadece $F_{(1)}$ 'e göre bulunan şeklidir. Eğer filtrenin boyu (j) kadar olucaksa, I nin $F_{(j)}$ ye göre j adet kısmî türevi alınarak bir denklem takımı elde edilir.

Bu denklem takımı genelleştirilerek

$$\sum_{\tau=0}^n F_{(\tau)} \phi_{xx}(j-\tau) = \phi_{zx}(j) \quad j=0, 1, 2, \dots, n \quad (7)$$

şeklinde yazılır. Bu denklemlerde giriş sinyalinin oto - korrelasyonu ile, giriş ve istenilen çıkış sinyallerinin çapraz - korrelasyonu bilindiğinden, denklem takımının çözümü ile filtre katsayıları bulunmuş olur.

Bulunan filtre katsayıları ile giriş sinyali konvole edildiğinde, gerçek çıkışın elde edileceğinden daha önce bahsedilmişti. Ancak, bu işlemlere gerçek çıkış ile istenilen çıkış arasındaki olabilecek farktan, yani (3) denklemini ile başlanmıştı. Fakat (3) denkleminde elde edilecek hata, gözle çabuk kontrol edilemeyeceğinden, kontrolün çabuklaştırılmasına uygun hale sokulmalıdır. Bu (3) denklemini daha açık olarak şöyle yazılır.

$$I = E \{ Z_{(t)}^2 \} - 2 \sum_{\tau=0}^n F_{(\tau)} E \{ Z_{(t)} \cdot X_{(t-\tau)} \} + \sum_{\tau=0}^n F_{(\tau)} \sum_{\mu=0}^n F_{(\mu)} E \{ X_{(t-\tau)} X_{(t-\mu)} \} \quad (8)$$

Burada μ , yardımcı bir indistir.

(8) denklemde

$$E\{Z_{(t)}^2\} = \phi_{zz}(0) \quad (9a)$$

$$E\{Z_{(t)} X_{(t-\tau)}\} = \phi_{zx}(\tau) \quad (9b)$$

$$E\{X_{(t-\tau)} X_{(t-\mu)}\} = \phi_{xx}(\mu-\tau) \quad (9c)$$

oldukları biliniyor. Bunlar (8) denklemde yerlerine konulursa

$$I = \phi_{zz}(0) - 2 \sum_{\tau=0}^n F_{(\tau)} \phi_{zx}(\tau) + \sum_{\tau=0}^n F_{(\tau)} \sum_{\mu=0}^n F_{(\mu)} \phi_{xx}(\mu-\tau) \quad (10)$$

elde edilir. Dikkat edilirse bu denklemdeki

$$\left[\sum_{\mu=0}^n F_{(\mu)} \phi_{xx}(\mu-\tau) \right]$$

kısmi, (7) denkleminin sol tarafı ile aynıdır. Bu da yerine konulduğunda, hata enerjisi (I) minimum olacaktır.

$$I_{\min} = \phi_{zz}(0) - \sum_{\tau=0}^n F_{(\tau)} \phi_{zx}(\tau) \quad (11)$$

Bu denklemin neticesini (0) ile (1) arasında

yer alacak şekle sokmak için, denklemin her iki tarafı $\phi_{zz}(0)$ 'a bölünür.

$$\frac{I_{\min}}{\phi_{zz}(0)} = 1 - \sum_{\tau=0}^n F_{(\tau)} \frac{\phi_{zx}(\tau)}{\phi_{zz}(0)}$$

burada,

$$\frac{I_{\min}}{\phi_{zz}(0)} = \varepsilon \quad \text{ve} \quad \frac{\phi_{zx}(\tau)}{\phi_{zz}(0)} = \phi_{zx}'(\tau)$$

denilirse

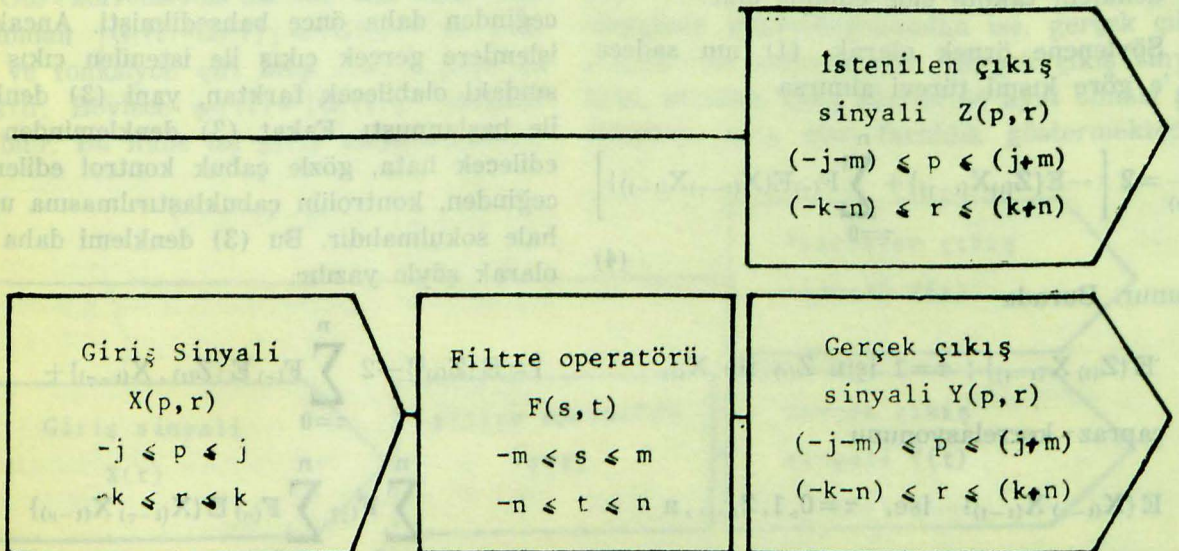
$$\varepsilon = 1 - \sum_{\tau=0}^n F_{(\tau)} \phi_{zx}'(\tau) \quad (12)$$

bulunur. Böylece $0 \leq \varepsilon \leq 1$ elde edilmiş olunur. $\varepsilon=1$ olması için, tüm filtre katsayılarının sıfır olması gerekir. Ayrıca bu durumda en kötü filtre elde edilmiştir. $\varepsilon=0$ olması halinde ise, istenilen çıkış ile gerçek çıkış birbiri üzerine oturmuş olup, en ideal filtre katsayıları elde edilmiştir.

İKİ BOYUTLU WIENER FİLTRESİNİN DÜZENLENMESİ

İki boyutlu Wiener filtresi, tek boyutludan daha karışık olduğundan, iki boyutlu için de ayrı bir filtre modeli çizmekte fayda vardır.

Tek boyutlu Wiener filtresinden, istenilen çıkış sinyali ile gerçek çıkış sinyali ara-



Şekil 2. İki Boyutlu Wiener Filtresinin Modeli.

sındaki olabilecek farkların karelerinin toplamı, hata enerjisi (I) olarak bilinmektedir. İki boyutlu halde ise, yine hatayı minimum yapacak olan denklem, benzer şekilde yazılır.

$$I = \sum_{p=-m-j}^{m+j} \sum_{r=-n-k}^{n+k} [Z_{(p,r)} - Y_{(p,r)}]^2 \quad (13)$$

Gerçek çıkış sinyali, filtre katsayıları ile giriş sinyalinin konvolüsyonu olduğundan

$$Y_{(p,r)} = \sum_{s=-m}^m \sum_{t=-n}^n F_{(s,t)} X_{(p-s, r-t)} \quad (14)$$

şeklinde yazılır. (14) denklemi (13) denklemine yerine konulacak olunursa

$$I = \sum_{p=-m-j}^{m+j} \sum_{r=-n-k}^{n+k} [Z_{(p,r)} - \sum_{s=-m}^m \sum_{t=-n}^n F_{(s,t)} X_{(p-s, r-t)}]^2 \quad (15)$$

elde edilir. (I)'nın her $F_{(s,t)}$ ye göre kısmî türevi alınıp sifıra eşitlenecek olunursa, hata minimuma indirgenmiş olacağı gibi, filtre katsayılarının bulunmasını sağlayacak denklem takımı da elde edilmiş olur. Buna örnek olarak, (I) nin sadece $F_{(0,0)}$ 'a göre türevi alınıp sifıra eşitlenirse

$$\frac{\partial I}{\partial F_{(0,0)}} = \sum_{p=-m-j}^{m+j} \sum_{r=-n-k}^{n+k} 2 [Z_{(p,r)} - \sum_{s=-m}^m \sum_{t=-n}^n F_{(s,t)} X_{(p-s, r-t)}] \quad (16)$$

olur. (16) denklemine eşitliğin sağ tarafın-

daki $\frac{\partial}{\partial F_{(0,0)}}$ den itibaren olan kısmın türev işlemini devam ettirmek kafidir. Bu da

$$\frac{\partial}{\partial F_{(0,0)}} [Z_{(p,r)} - \sum_{s=-m}^m \sum_{t=-n}^n F_{(s,t)} X_{(p-s, r-t)}] = -X_{(p,r)}$$

olarak bulunur. Bu netice (16) denklemine yerine konularak, diğer işlemler devam ettirilirse,

$$\frac{\partial I}{\partial F_{(0,0)}} = 2 \sum_{p=-m-j}^{m+j} \sum_{r=-n-k}^{n+k} [-Z_{(p,r)} X_{(p,r)}] + \sum_{s=-m}^m \sum_{t=-n}^n F_{(s,t)} X_{(p-s, r-t)} X_{(p,r)} \quad (17)$$

bulunur. Burada

$$[- \sum_{p=-m-j}^{m+j} \sum_{r=-n-k}^{n+k} Z_{(p,r)} X_{(p,r)}]$$

$s=0$ ve $t=0$ için $Z_{(p,r)}$ ile $X_{(p,r)}$ nin çapraz-korrelasyonunu,

$$\left[\sum_{p=-m-j}^{m+j} \sum_{r=-n-k}^{n+k} X_{(p-s, r-t)} X_{(p,r)} \right]$$

ise, $-m \leq s \leq m$ ve $-n \leq t \leq n$ için giriş sinyalinin oto-korrelasyonunu gösterir. Bu ifadeler göz önüne alınarak, yukarıdaki (17) denklemi daha genel hali ile şöyle yazılabilir.

$$\frac{\partial I}{\partial F_{(0,0)}} = 2[-\phi_{zx}(0,0) + \sum_{s=-m}^m \sum_{t=-n}^n F_{(s,t)} \phi_{xx}(i-s, j-t)] \quad (18)$$

Bu denklem sifıra eşitlenerek, çapraz-korrelasyon kısmı eşitliğin sağ tarafına atılacak olunursa

$$\sum_{s=-m}^m \sum_{t=-n}^n F_{(s,t)} \phi_{xx}(i-s, j-t) = \phi_{zx}(0,0) \quad (19)$$

bulunmuş olur.

Giriş ve istenilen çıkış sinyalleri bilindiğinden, (19) denklemindeki (Φ_{xx}) ile (Φ_{zx}) de bilinmiş olur.

Biraz önce yapılan türev işlemi gibi, I' 'nin bütün $F_{(s,t)}$ 'lere göre ($s = -m$ 'den, $+m$ 'e kadar; $t = -n$ 'den, $+n$ 'e kadar) kısmî türevleri alınıp sıfıra eşitlenecek olunursa, $[(2m+1)(2n+1)]$ adet lineer denklem takımı elde edilmiş olur. Bu denklem takımında en genel hali ile şöyle yazılabilir.

$$\sum_{s=-m}^m \sum_{t=-n}^n F_{(s,t)} \phi_{xx}(i-s, j-t) = \phi_{zx}(i-j) \quad (20)$$

Burada

$$i = -m, \dots, 0, \dots, +m$$

$$j = -n, \dots, 0, \dots, +n \quad \text{dir.}$$

Bu denklem takımının çözümü ile, $F_{(s,t)}$ filtre katsayılarının tamamı bulunmuş olur. Bulunan bu filtre katsayıları ile, giriş sinyali konvole edilecek olunursa, gerçek çıkış sinyali elde edilir.

Gerçek çıkış sinyali ile, istenilen çıkış sinyali arasında bir fark bulunabileceği daha önceden belirtilmişti. Ve bu teoriye, iki sinyal arasındaki olabilecek farktan başlanmış olup (13) denklemleri ile verilmişti. Bu farkın ilerletilmiş hali ise, tek boyutlu Wiener filtresi kısmında detayları ile anlatılmıştır.

ANALİTİK UZANIM

Analitik uzanım, kısaca şöyle tarif edilebilir. Yeryüzünde ölçülen, gravite veya manyetik değerlerine, hazırlanmış olunan, analitik uzanım katsayıları uygulanarak (Konvole edilerek), yeryüzünden farklı bir yükseklikteki yüzeyde (yeryüzünden aşağıda veya yukarıda) olabilecek muhtemel sahanın değerlerini bulmaktır. Böylece, yeraltındaki kuvveti yaratan kütleden, uzaklaşmış veya ona yaklaşmış oluruz.

Katsayıların hazırlanması için, giriş sinyali olarak belli derinlikteki bir noktasal küt-

lenin harita değerleri, istenilen çıkış sinyali olarakta, giriş sinyalinde kullanılan noktasal kütlelerin derinliğinden daha az veya daha çok derinlikteki diğer bir noktasal kütlelerin harita değerleri seçilmiştir. Seçilen bu giriş ve çıkış sinyallerinin uzunluğu, anomalilerinin sıfıra yaklaştığı yere kadar olmalıdır. Aksi takdirde hata enerjisinde büyüme olduğu hemen göze çarpar.

Giriş ve istenilen çıkış için noktasal kütlelerin harita değerlerinin kullanılmasının sebebi ise, yeraltındaki bütün kütlelerin, noktasal kütlelerin biraraya gelmesi ile meydana gelmiş bir kütle olmaları, ve bu haritaların bir dönel simetriye sahip olmaları gibi, hesapları basitleştirici özelliklere sahip olmalarıdır.

$P_{1(0,0,-h)}$ noktasında, kütlesi M olan bir noktanın yer yüzünün $P_{2(x,y,0)}$ noktasında meydana getirdiği gravite alanı :

$$G = k_0 M \frac{h}{(x^2 + y^2 + h^2)^{3/2}}$$

dir. Burada k_0 gravitasyon sabitidir.

AŞAĞI ANALİTİK UZANIM KATSAYILARININ DÜZENLEME VE UYGULAMALARI

Aşağı analitik uzanım için, yukarıda anlatılanlara bağımlı kalarak, giriş sinyali için, derinliği 3 dijit (grid) birim, boyutları ise (11×11) dijitlik noktasal kütlelerin harita değerleri, istenilen çıkış sinyali içinde derinliği 2 dijit birim, boyutları (21×21) dijitlik diğer bir noktasal kütlelerin harita değerleri seçilmiştir. Bu iki sinyalden faydalanarak, (11×11) boyutlu $F_{(s,t)}$ aşağı analitik uzanım katsayıları bulundu. Bulunan katsayılar ile, giriş sinyali konvole edilerek gerçek çıkış sinyali elde edildi. Bu sinyal ile istenilen çıkış sinyali kıyaslanarak, hata enerjisi $\epsilon = 0,0165$ bulundu. Bu neticenin de sıfıra yakın, yani iyi bir netice olduğu görülmektedir.

Elde edilen aşağı analitik uzanım katsayıları, nokta simetriye sahip olduğundan, 1/4 lük bir kısmı Tablo I'de verilmiştir.

TABLO : I

h=1 dijit (grid) lik aşağı uzanım katsayıları
(1/4'lük kısmı)

-0.46567	0.14626	0.07472	0.00830	-0.00280	0.01206
0.50211	-0.00816	-0.07898	-0.14518	-0.10107	-0.00280
0.18350	0.13517	-0.03138	-0.18989	-0.14518	0.00830
-2.10337	0.68499	0.32523	-0.03138	-0.07898	0.07472
-4.35484	1.19676	0.68499	0.13517	-0.00816	0.14626
14.71799	-4.35484	-2.10337	0.18350	0.50211	-0.46567

Tablo I'de verilen aşağı uzanım katsayıları, çeşitli derinlik ve büyüklükteki küre, silindir ve fay'lara uygulanarak, çok iyi neticeler elde edilmiştir. Ancak aşağı analitik uzanım ile, kütleye çok yaklaşırsa birtakım singularitelerin meydana geldiği incelenmektedir. Eğer kütlelerin merkezine kadar, veya daha aşağılara inilirse, o zaman kütlelerin tam üzerinde çok büyük bir maksimum, onun sağ ve solunda ise minimum anomaliler, daha sonrada tekrar pozitif anomalileri tâkiben sıfıra doğru giden dalgalanmalar gözlenmektedir. Bu iniş ve çıkışlar, kütle derinliğinin bulunması için çok iyi bir kriterdir.

Yeraltındaki kütle tek bir tâne olmayıp, derinlikleride birbirinden farklı ise, tâkip edilecek yol şöyledir. Hem sığ hem de derinde olan kütleler hakkında bilgi edinilmek istendiğinde, aşağı analitik uzanım ile, sığdaki kütleye yaklaştıktan sonra, onun yorumu yapılır. Sonra da herhangi bir alçak geçişli filtre ile, sığdaki kütle atılır. Ancak bundan sonra daha aşağılara doğru analitik uzanım ile inilebilir. Eğer üstteki kütleler atılmadan altlara doğru inilirse, üstteki kütlelerin meydana getireceği singulariteler, alttaki kütlelerin vereceği anomalide birtakım yanlış değerlendirmeleri meydana getirmektedir. Fakat yorumu yapılacak olan kütle, sadece altlardaki rejijonal kısım ise, o zaman hiç aşağı analitik uzanım uygulamadan, herhangi bir alçak geçişli filtre ile rezidüel kısım atılır. Daha sonra da aşağı analitik uzanım ile, altlara doğru inilerek rejijonal kısmın yorumu rahatlıkla yapılabilir.

Yapılan model çalışmalarından birkaçının, şekil ve izahları aşağıda verilmektedir.

Şekil 3 : Derinliği 3 km, yarıçapı 1 km ve

yoğunluk kontrastı 1 gr/cm^3 olan bir kürenin, haritası, 1'er kilometrelik dijitlere ayrılmıştır. Bu haritaya, aşağı analitik uzanım katsayıları uygulanarak, rezervi aynı kalmak şartıyla sadece derinlik 2 km'ye düşürülmüştür. Bu yapılan işlemde, aşağı uzanım katsayılarının doğru işlem yaptığını kanıtlamak için, rezervi ve yoğunluk kontrastı aynı, derinliği ise 2 km olan yeni bir kürenin haritası teorik olarak hazırlanmıştır. Bu üç kürenin haritasından da kesitler alınarak anomalileri çizilmiştir. Eğer, derinlikleri 2 km olan iki kürenin anomalileri karşılaştırılırsa, birbirlerine olan uygunlukları bâriz olarak görülmektedir. Bu uygunluk, aşağı analitik uzanım katsayılarımızın doğruluğunun en iyi kanıtıdır.

Şekil 4 : Burada da, yukarıda küre için anlatılanların aynısı, yatay bir silindir için tekrarlanmıştır. Derinliği 3 km, yarıçapı 1 km ve yoğunluk kontrastı 1 gr/cm^3 olan bir silindirin haritasına, aşağı analitik uzanım uygulanarak, derinliği 2 km olan yeni bir silindirin haritası elde edilmiştir. Ayrıca, derinliği 2 km olan bir silindirin haritası da teorik olarak elde edilmiş ve bu üç haritadan kesitler alınarak anomalileri çizilmiştir. Derinliği 2 km olan iki silindirin anomalilerinin birbirlerine uygunlukları, aşağı analitik uzanım katsayılarımızın doğruluğunu göstermektedir.

Şekil 5'de ise, yukarıda küre ve silindir için anlatılanlar, fay için uygulanmış olup, burada da elde edilen anomalilerin uygunluğu aşağı analitik uzanım katsayılarımızın doğruluğunu kanıtlamıştır. (Fay'ın atımı: 1 km, derinliği: 3 km, yoğunluk kontrastı: 1 gr/cm^3 tür.)

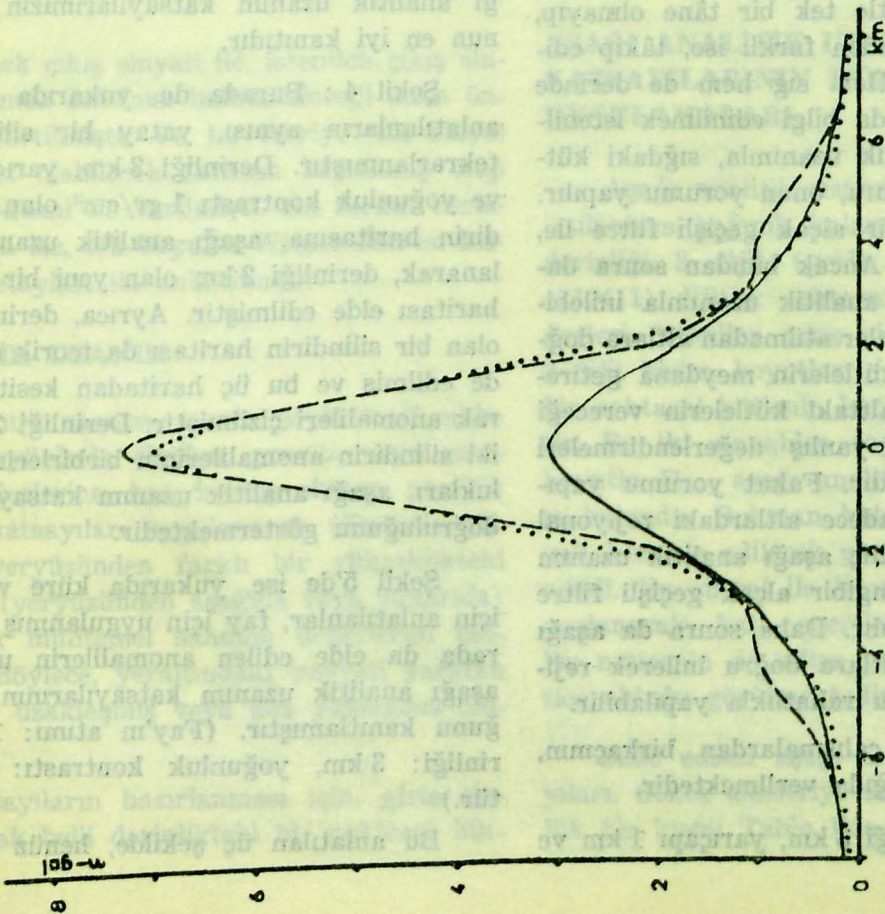
Bu anlatılan üç şekilde, henüz kütle de-

Yeraltındaki kütlesi bir tane olmasaydı, deşarjlanabilir bir pil gibi düşünebiliriz. Bu durumda, yeraltındaki kütlenin, yer yüzüne kadar olan kütleye oranında, yerçekimi kuvveti artar. Bu da, yeraltındaki kütlenin, yer yüzüne kadar olan kütleye oranında, yerçekimi kuvveti artırır. Bu da, yeraltındaki kütlenin, yer yüzüne kadar olan kütleye oranında, yerçekimi kuvveti artırır.

Sekil 3 de ise yukarıda küre ve elipsoidin altında olan fayın eğilim açıları olup, bu fayın, deşarjlanabilir bir pil gibi düşünebiliriz. Bu durumda, yeraltındaki kütlenin, yer yüzüne kadar olan kütleye oranında, yerçekimi kuvveti artar. Bu da, yeraltındaki kütlenin, yer yüzüne kadar olan kütleye oranında, yerçekimi kuvveti artırır. Bu da, yeraltındaki kütlenin, yer yüzüne kadar olan kütleye oranında, yerçekimi kuvveti artırır.

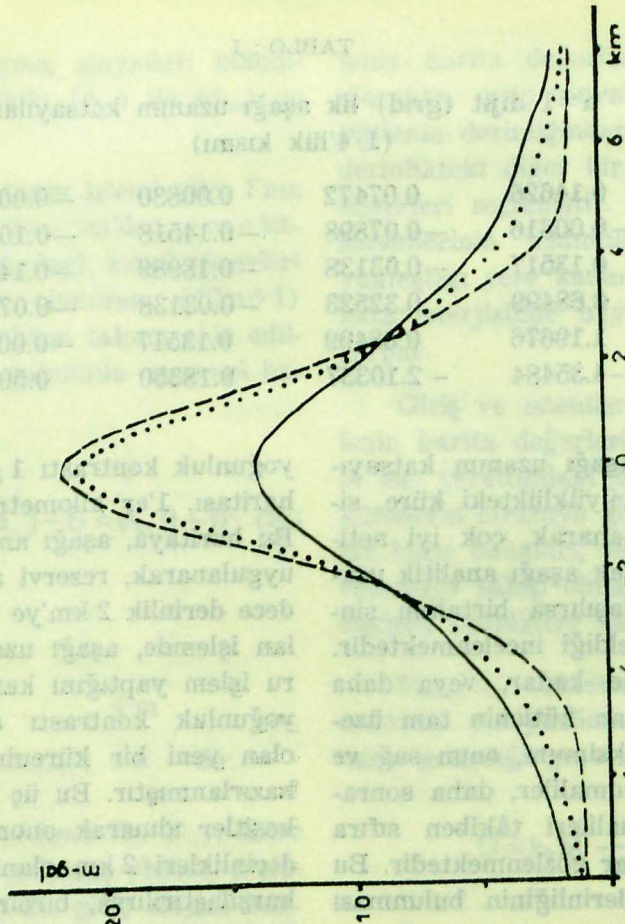
TABLE 1

0.01208	0.00280	0.00830	0.01472
0.00280	-0.01010	-0.01458	-0.07898
0.00830	-0.01458	-0.01458	-0.07898
0.01208	-0.07898	-0.07898	-0.07898



Şekil 3 :

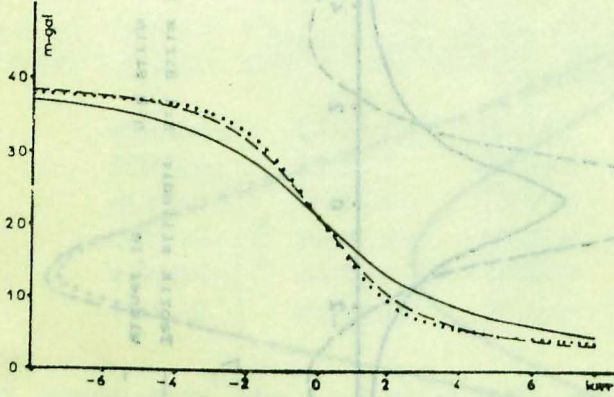
- Teorik küre h:3 Birim (Bouguer)
- Teorik küre h:2 Birim
- Wiener'le h:2 Birim



Şekil 4 :

- Teorik silindir h:2 Birim Bouguer
- Teorik silindir h:2 Birim
- Wiener'le h:2 Birim

rinliğine inilmemiş durumu göstermektedir. Bu çalışmalardan başka, kütlelerden daha uzak derinliklerde de çalışmalar yapılarak, çok iyi sonuçlar alınmıştır. Ancak, buraya sadece bu üç kütlelerin konulması ile yetinilmiştir.



Şekil : 5

— Teorik fay h=1 Birim (Bouguer)
 Teorik fay h=2 Birim
 - - - - - Wiener ile h=2 Birim

Daha önce bahsedildiği gibi, kütle derinliğindeki seviyeye inildiği zaman bazı singulariteler oluyordu. Bu singularitelerde şu üç şekilde gösterilmiştir.

Şekil 6 (Şekil 3)'de anlatılan kürenin yarıçap ve yoğunluk kontrastında hiç değişiklik yapmadan, sadece derinliğinde ($h=1$ km) değişiklik yapılarak teorik haritası çıkarıldı. Bu haritaya aşağı analitik uzanım katsayıları uygulanarak kütlelerin merkezinden geçen seviyeye inilmiştir. Bu durumdaki harita da elde edildikten sonra, her iki haritadan birer kesit alınarak anomalileri çizilmiştir. Aşağı analitik uzanım ile elde edilen anomalideki singulariteler açık olarak görülmektedir. Bu singularitelerin, kütlelerin merkezine inilmiş olduğunu gösteren bir kriter olduğu daha önceden bahsedilmişti.

Şekil 7 : Yukarıda küre için anlatılanların aynısı silindir için tekrarlanarak, buradaki singulariteler de gözlenmiştir.

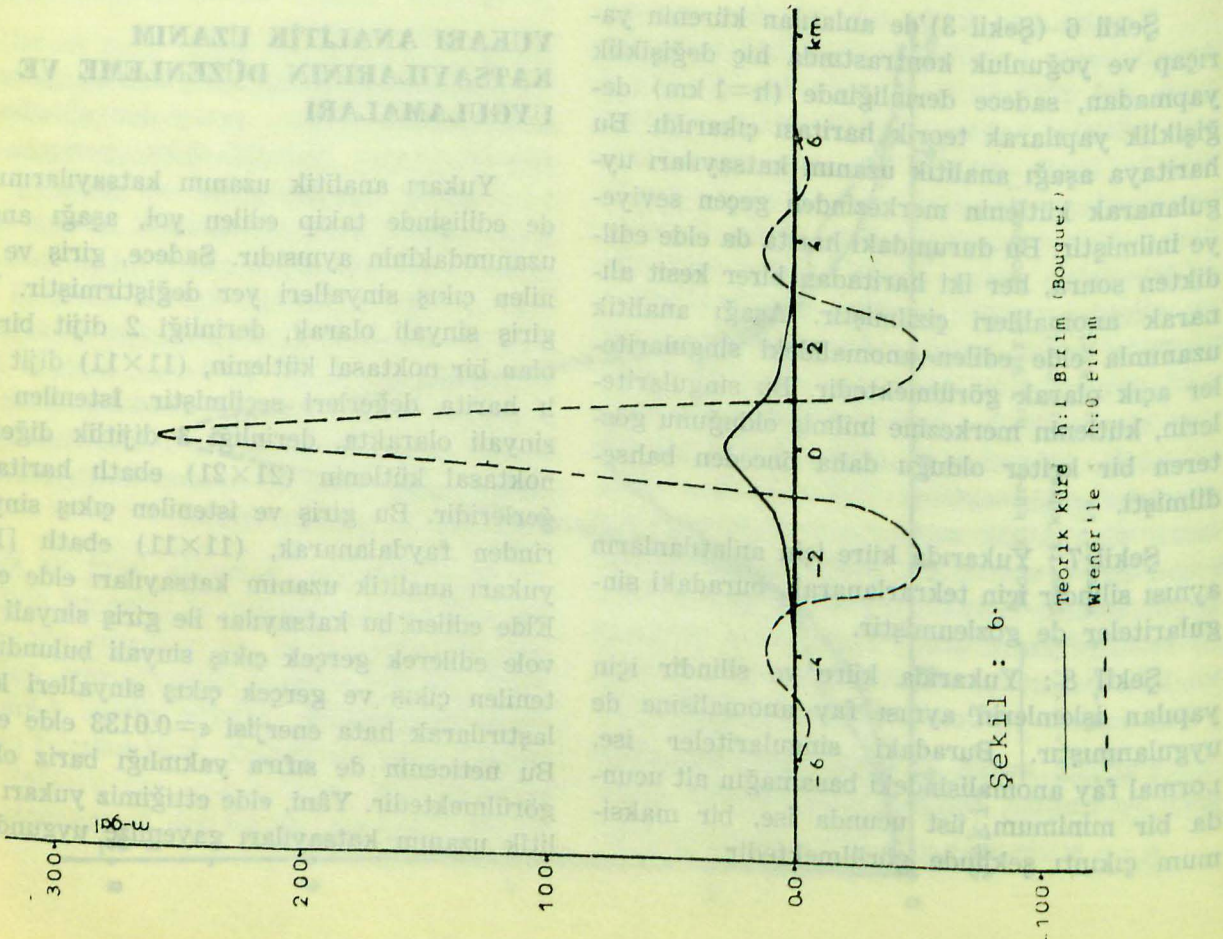
Şekil 8 : Yukarıda küre ve silindir için yapılan işlemlerin aynısı fay anomalisine de uygulanmıştır. Buradaki singulariteler ise, normal fay anomalisindeki basamağın alt ucunda bir minimum, üst ucunda ise, bir maksimum çıkıntı şeklinde görülmektedir.

Buraya kadar yapılan model çalışmalarının tamamı, küre, silindir ve fay gibi geometrik yapıya sahip, ve yoğunluk kontrastları homojen dağılımlı kütleler içindi. Halbuki arazide bu tür kütlelerle karşılaşmak hemen hemen imkânsızdır. Arazideki hiçbir kütle tam bir geometrik yapıya sahip olmadığı gibi, yoğunluk dağılımlarında da hemen hemen her zaman heterojenlikle karşılaşılır. Bu düşünceden gidilerek, yoğunluk dağılımı heterojen ve geometrik yapıdan nispeten uzak bir kütlelerin haritasına aşağı analitik uzanım uygulaması yapıldı.

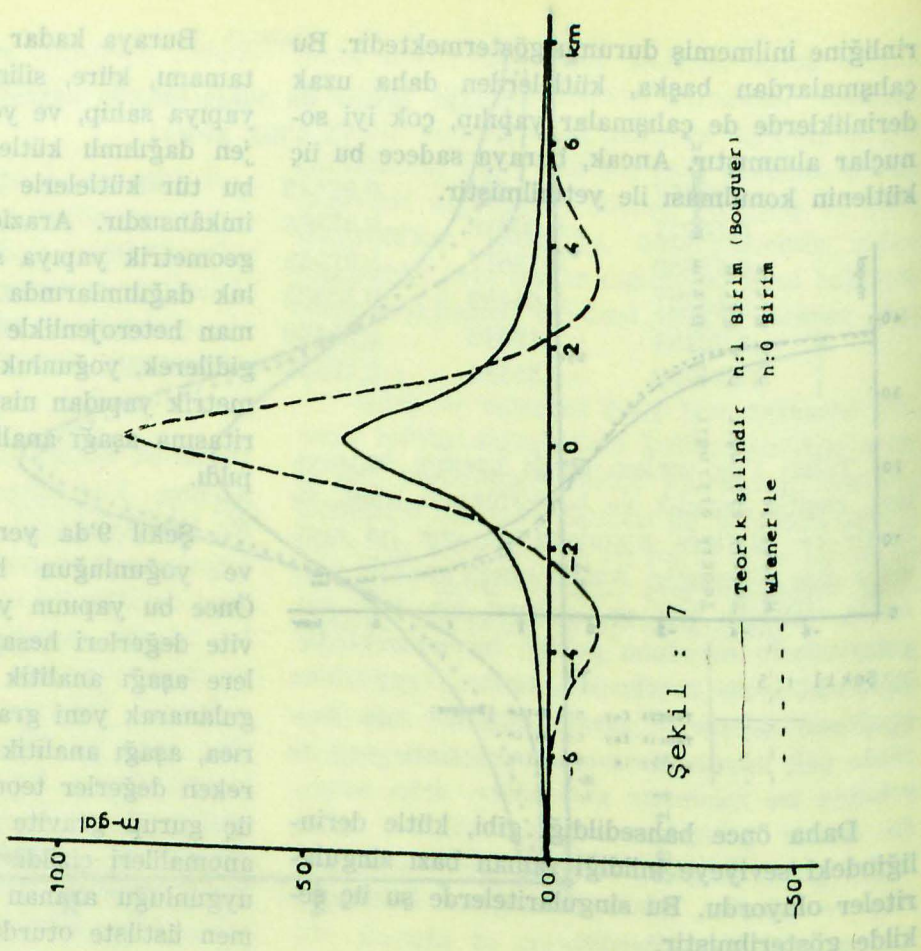
Şekil 9'da yeraltındaki kütlelerin dağılımı ve yoğunluğun heterojenliği gösterilmiştir. Önce bu yapının yeryüzünde hasıl ettiği gravite değerleri hesaplandı. Sonra da bu değerlere aşağı analitik uzanım katsayılarımız uygulanarak yeni gravite değerleri bulundu. Ayrıca, aşağı analitik uzanım ile elde edilmesi gereken değerler teorik olarak hesaplanarak, bu üç grup gravite değerlerinden kesitler alıp anomalileri çizildi. Şekilde de görüldüğü gibi, uygunluğu aranan iki anomalinin hemen hemen üstüste oturdukları saptandı.

YUKARI ANALİTİK UZANIM KATSAYILARININ DÜZENLEME VE UYGULAMALARI

Yukarı analitik uzanım katsayılarının elde edilmesinde takip edilen yol, aşağı analitik uzanımdakinin aynısıdır. Sadece, giriş ve istenilen çıkış sinyalleri yer değiştirmiştir. Yâni, giriş sinyali olarak, derinliği 2 dijital birimlik olan bir noktasal kütlelerin, (11×11) dijital ebatlı harita değerleri seçilmiştir. İstenilen çıkış sinyali olarakta, derinliği 3 dijital diğer bir noktasal kütlelerin (21×21) ebatlı harita değerleridir. Bu giriş ve istenilen çıkış sinyallerinden faydalanarak, (11×11) ebatlı $[F_{(s,t)}]$ yukarı analitik uzanım katsayıları elde edildi. Elde edilen bu katsayılar ile giriş sinyali konvole edilerek gerçek çıkış sinyali bulundu. İstenilen çıkış ve gerçek çıkış sinyalleri karşılaştırılarak hata enerjisi $\epsilon=0.0133$ elde edildi. Bu neticenin de sifıra yakınlığı bariz olarak görülmektedir. Yâni, elde ettiğimiz yukarı analitik uzanım katsayıları gayemize uygundur.



Şekil : 6.



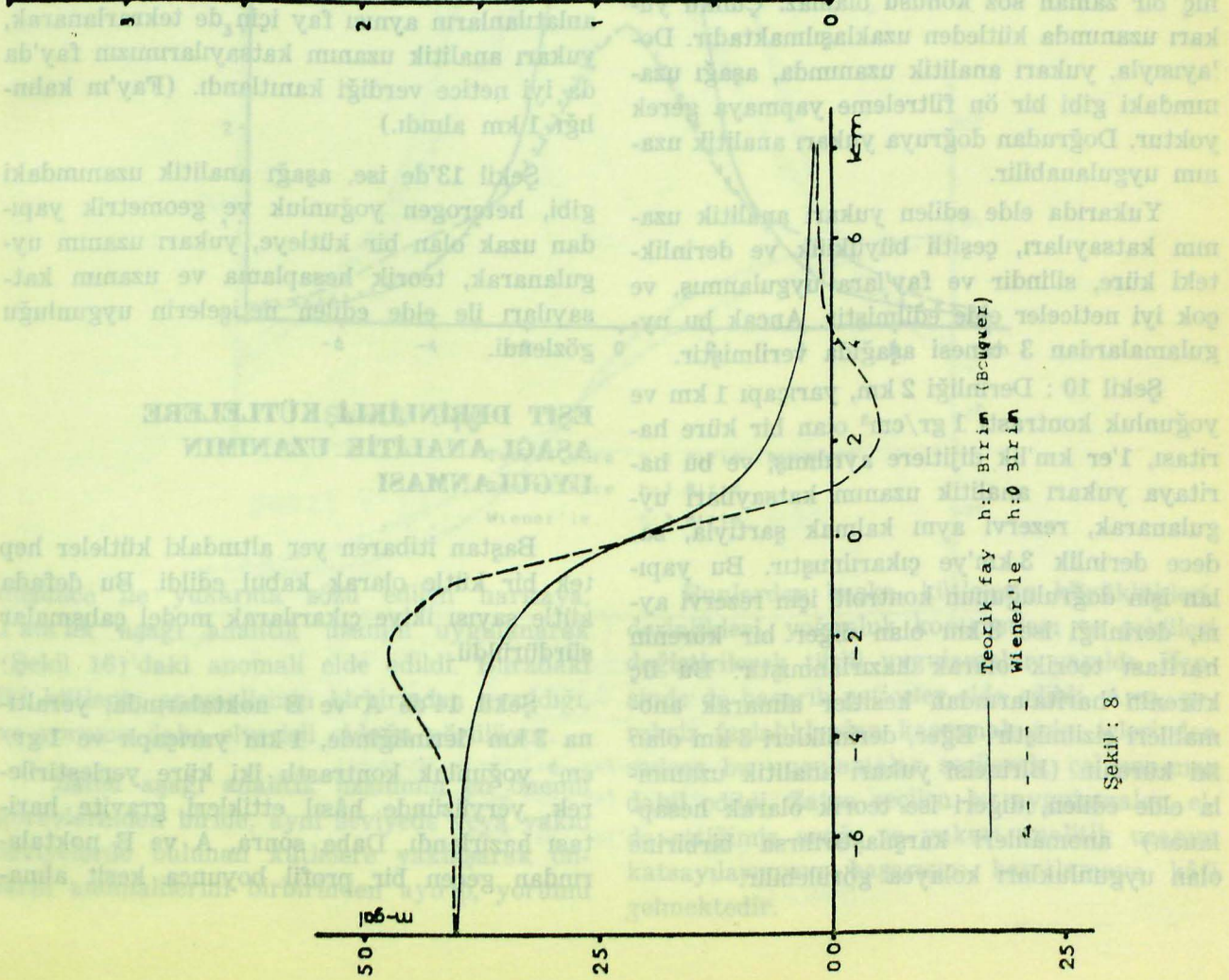
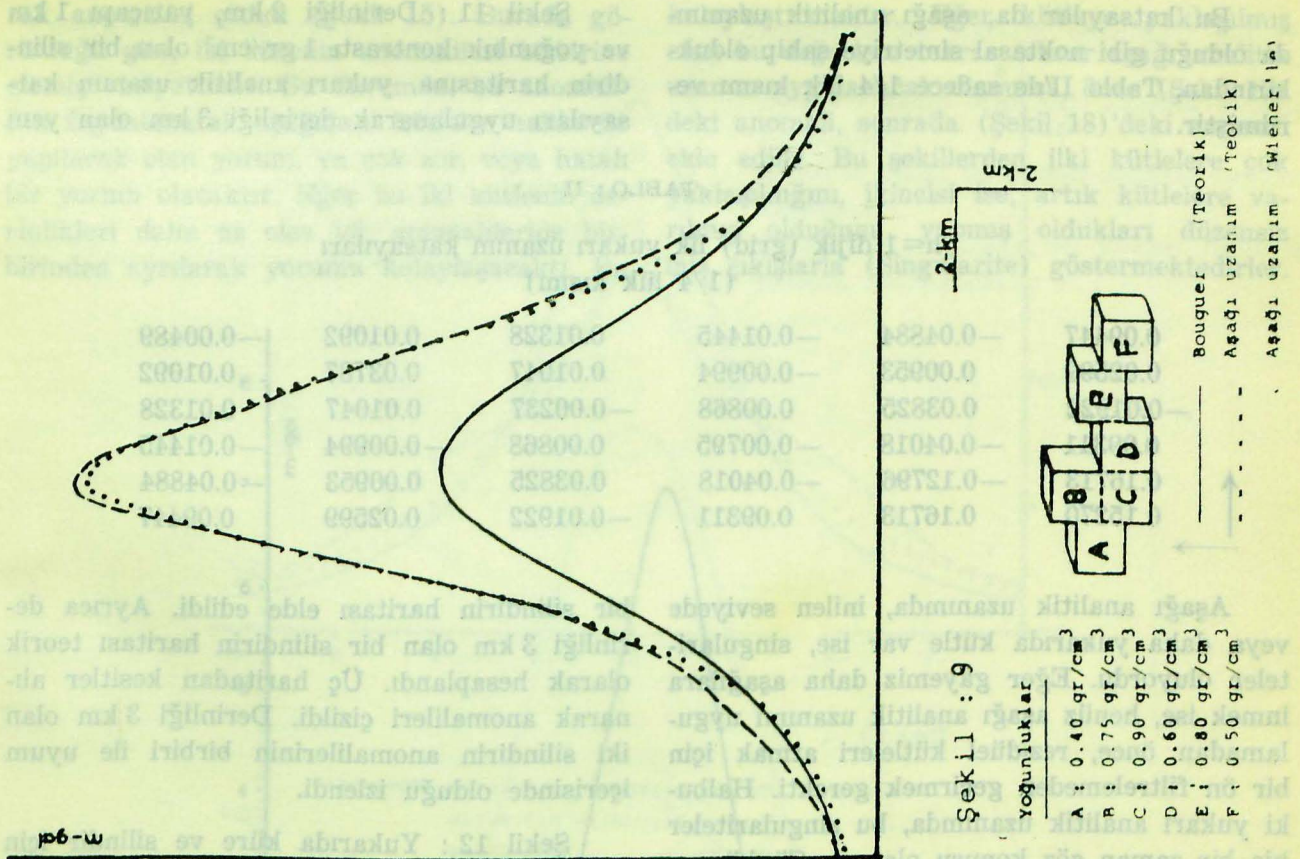
Şekil : 7

YUKARI ANALİTİK UZANIM KATASYLARININ DÖNÜŞTÜRME VE UYGULAMALARI

Yukarı analitik uzanım katasyllarının de edlinde takip edilen yol, aşağı analitik uzanım katasyllarının ayınadır. Şadede, giriş ve çıkış eğri sinüsleri yer değiştirilmiştir. Yalnız giriş sinyali olarak, denatığı 2 diğir birim olan bir noktasal kütle, (11x11) diğir ebe olarak kabul edilmiştir. İstenilen çıkış sinyali olarak, (21x21) ebatlı birim kabul edilmiştir. Bu giriş ve istenilen çıkış sinyali rinden faydalanarak, (11x11) ebatlı (F₁₁) Yukarı analitik uzanım katasylları elde edilmiştir. Diğer bir katasyllar ile giriş sinyali bir vektör olarak gerçek çıkış sinyali olarak tanımlanmış ve gerçek çıkış sinyali olarak kabul edilmiştir. Bu durumda, bir vektör olarak tanımlanmış ve gerçek çıkış sinyali olarak kabul edilmiştir. Bu durumda, bir vektör olarak tanımlanmış ve gerçek çıkış sinyali olarak kabul edilmiştir.

Şekil 6 (Şekil 3)'de anlatılan ilimünin giriş ve çıkış katasyllarını bir değışiklik yapmadan, sadece denatılığında (h=1) olarak kabul edilmiştir. Bu değışiklik yapılarak teorik katasylların giriş ve çıkış analitik uzanım katasyllarını karşılaştırılmıştır. Şadede elde edilen sonuçlar, her iki katasylların analitik uzanım katasyllarını karşılaştırılmıştır. Şadede elde edilen sonuçlar, her iki katasylların analitik uzanım katasyllarını karşılaştırılmıştır. Şadede elde edilen sonuçlar, her iki katasylların analitik uzanım katasyllarını karşılaştırılmıştır.

Daha önce bahsedildiği gibi, kitle denatılığında, Bu katasylların değışiklik yapılarak, sadece denatılığında (h=1) olarak kabul edilmiştir. Bu değışiklik yapılarak teorik katasylların giriş ve çıkış analitik uzanım katasyllarını karşılaştırılmıştır. Şadede elde edilen sonuçlar, her iki katasylların analitik uzanım katasyllarını karşılaştırılmıştır. Şadede elde edilen sonuçlar, her iki katasylların analitik uzanım katasyllarını karşılaştırılmıştır.



Bu katsayılar da, aşağı analitik uzanım-
da olduğu gibi noktasal simetriye sahip olduk-
larından, Tablo II'de sadece 1/4 lük kısmı ve-
rilmiştir.

Şekil 11 : Derinliği 2 km, yarıçapı 1 km
ve yoğunluk kontrastı 1 gr/cm^3 olan bir silin-
dirin haritasına, yukarı analitik uzanım kat-
sayıları uygulanarak derinliği 3 km olan yeni

TABLO : II

h=1 dik (grid) lik yukarı uzanım katsayıları
(1/4 lük kısmı)

0.09447	-0.04884	-0.01445	0.01328	0.01092	-0.00489
0.02599	0.00953	-0.00994	0.01047	0.03787	0.01092
-0.01922	0.03825	0.00868	-0.00237	0.01047	0.01328
0.09311	-0.04018	-0.00795	0.00868	-0.00994	-0.01445
0.16713	-0.12796	-0.04018	0.03825	0.00953	-0.04884
0.15270	0.16713	0.09311	-0.01922	0.02599	0.09447

Aşağı analitik uzanımında, inilen seviyede
veya daha yukarıda kütle var ise, singularite-
ler oluyordu. Eğer gâyemiz daha aşağılara
inmek ise, henüz aşağı analitik uzanımı uygu-
lamadan önce, rezidüel kütleleri atmak için
bir ön filtrelemeden geçirmek gerekti. Halbuki
yukarı analitik uzanımında, bu singulariteler
hiç bir zaman söz konusu olamaz. Çünkü yu-
karı uzanımında kütlelerden uzaklaşmaktadır. Do-
layısıyla, yukarı analitik uzanımında, aşağı uza-
nımdaki gibi bir ön filtreleme yapmaya gerek
yoktur. Doğrudan doğruya yukarı analitik uza-
nım uygulanabilir.

Yukarıda elde edilen yukarı analitik uza-
nım katsayıları, çeşitli büyüklük ve derinlik-
teki küre, silindir ve fay'lara uygulanmış, ve
çok iyi neticeler elde edilmiştir. Ancak bu uy-
gulamalardan 3 tanesi aşağıda verilmiştir.

Şekil 10 : Derinliği 2 km, yarıçapı 1 km ve
yoğunluk kontrastı 1 gr/cm^3 olan bir küre ha-
ritası, 1'er km'lik dijtlere ayrılmış, ve bu ha-
ritaya yukarı analitik uzanım katsayıları uy-
gulanarak, rezervi aynı kalmak şartıyla, sa-
dece derinlik 3 km'ye çıkarılmıştır. Bu yapı-
lan işin doğruluğunun kontrolü için rezervi ay-
nı, derinliği ise 3 km olan diğer bir kürenin
haritası teorik olarak hazırlanmıştır. Bu üç
kürenin haritalarından kesitler alınarak ano-
malileri çizilmiştir. Eğer, derinlikleri 3 km olan
iki kürenin (Birincisi yukarı analitik uzanım-
la elde edilen, diğeri ise teorik olarak hesap-
lanan) anomalileri karşılaştırılırsa birbirine
olan uygunlukları kolayca görülebilir.

bir silindirin haritası elde edildi. Ayrıca de-
rinliği 3 km olan bir silindirin haritası teorik
olarak hesaplandı. Üç haritadan kesitler alı-
narak anomalileri çizildi. Derinliği 3 km olan
iki silindirin anomalilerinin birbiri ile uyum
içerisinde olduğu izlendi.

Şekil 12 : Yukarıda küre ve silindir için
anlatılanların aynısı fay için de tekrarlanarak,
yukarı analitik uzanım katsayılarımızın fay'da
da iyi netice verdiği kanıtlandı. (Fay'ın kalınlı-
ğı 1 km alındı.)

Şekil 13'de ise, aşağı analitik uzanımındaki
gibi, heterogen yoğunluk ve geometrik yapı-
dan uzak olan bir kütleyle, yukarı uzanım uy-
gulanarak, teorik hesaplama ve uzanım kat-
sayıları ile elde edilen neticelerin uygunluğu
gözlemlendi.

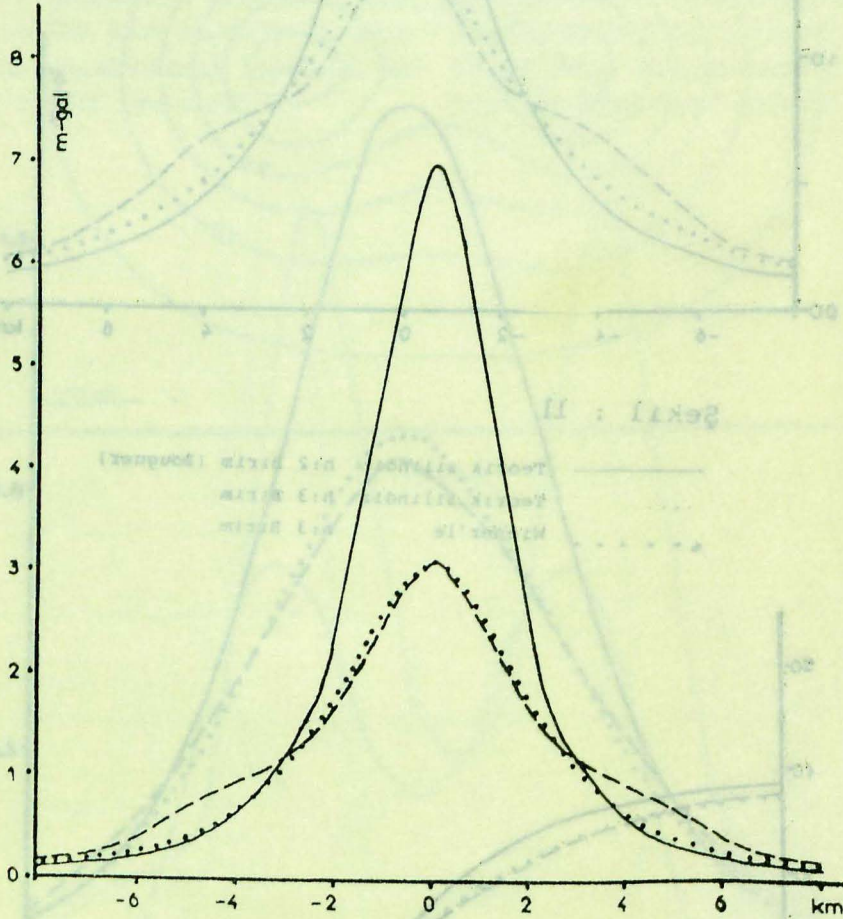
EŞİT DERİNLİKLİ KÜTLELERE AŞAĞI ANALİTİK UZANIMIN UYGULANMASI

Baştan itibaren yer altındaki kütleler hep
tek bir kütle olarak kabul edildi. Bu defada
kütle sayısı ikiye çıkarılarak model çalışmalar
sürdürüldü.

Şekil 14'de A ve B noktalarında, yeraltı-
na 3 km derinliğinde, 1 km yarıçaplı ve 1 gr/
 cm^3 yoğunluk kontrastlı iki küre yerleştirile-
rek, yeryüzünde hâsıl ettikleri gravite hari-
tası hazırlandı. Daha sonra, A ve B noktala-
rından geçen bir profil boyunca kesit alma-

rak anomalisi çizildi (Şekil 15). Burada görüldüğü gibi, iki kürenin anomalileri birbirine girmiş vaziyettedir. Bu durumda, bu anomali-den faydalanarak aşağıdaki kütleler hakkında yapılacak olan yorum, ya çok zor, veya hatalı bir yorum olacaktır. Eğer bu iki kürenin derinlikleri daha az olsa idi, anomalileride birbirinden ayrılarak yorumu kolaylaşacaktı. Bu

kolaylaştırmaktır. Eğer kütleyle yaklaşılmış olan bu değerlere tekrar tekrar aşağı analitik uzanım uygulanacak olunursa, önce (Şekil 17) deki anomali, sonrada (Şekil 18)'deki anomali elde edilir. Bu şekillerden ilki kütlelere çok yaklaşıldığını, ikincisi ise, artık kütlelere varılmış olduğunu, yapmış oldukları düzensiz iniş çıkışlarla (Singularite) göstermektedirler.



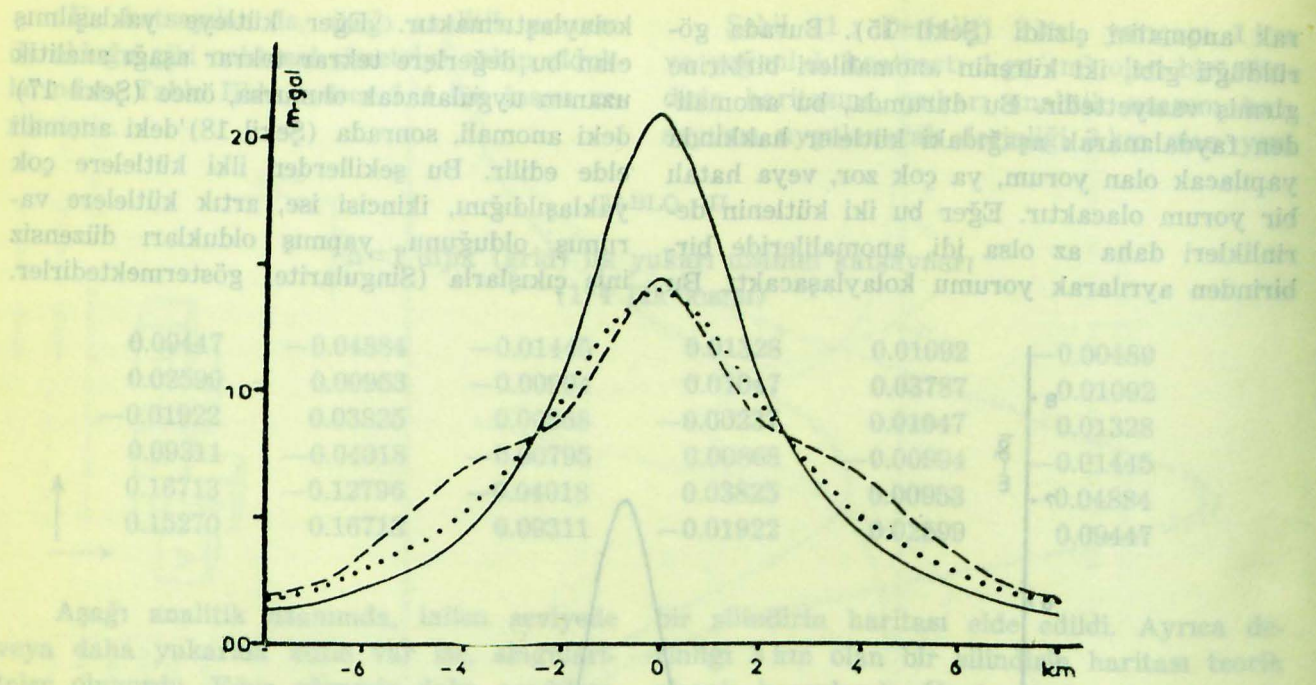
Şekil : 10

— Teorik küre h:2 Birim (Bouguer)
 Teorik küre h:3 Birim
 - - - Wiener'le h:3 Birim

düşünce ile yukarıda sözü edilen haritaya, 1 km'lik aşağı analitik uzanım uygulanarak (Şekil 16)'daki anomali elde edildi. Buradaki iki kürenin anomalisinin birbirinden ayrıldığı, ve yoruma daha elverişli olduğu görülüyor.

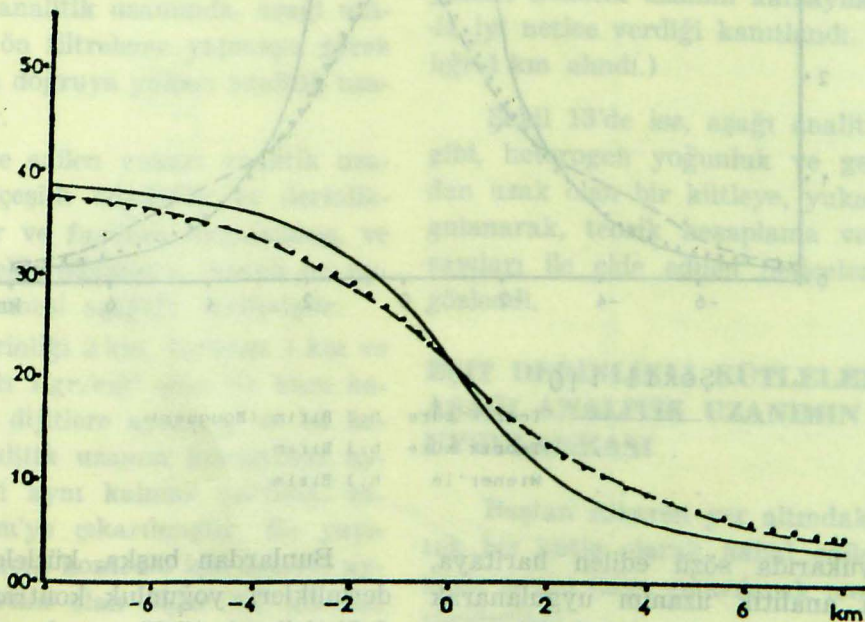
Zaten aşağı analitik uzanımın en önemli görevlerinden biride, aynı seviyede veya yakın seviyelerde bulunan kütlelere yaklaşarak onların anomalilerini birbirinden ayırıp, yorumu

Bunlardan başka, kütlelerin büyüklükleri, derinlikleri, yoğunluk kontrastları ve şekilleri değiştirilerek türlü uygulamalar yapıldı. Hepsinde de başarılı neticeler elde edildi. Ama, gereksiz fazlalıklardan kaçınmak için, içlerinden sadece bu uygulamalar seçilerek, çalışmamıza dahil edildi. Zaten seçilen bu uygulamalar, elde ettiğimiz aşağı ve yukarı analitik uzanım katsayılarımızın başarısını kanıtlamaya kâfi gelmektedir.



Şekil : 11

- | | | |
|---------|-----------------|---------------------|
| — | Teorik silindir | h:2 Birim (Bouguer) |
| | Teorik silindir | h:3 Birim |
| - - - - | Wiener'le | h:3 Birim |



Şekil : 12

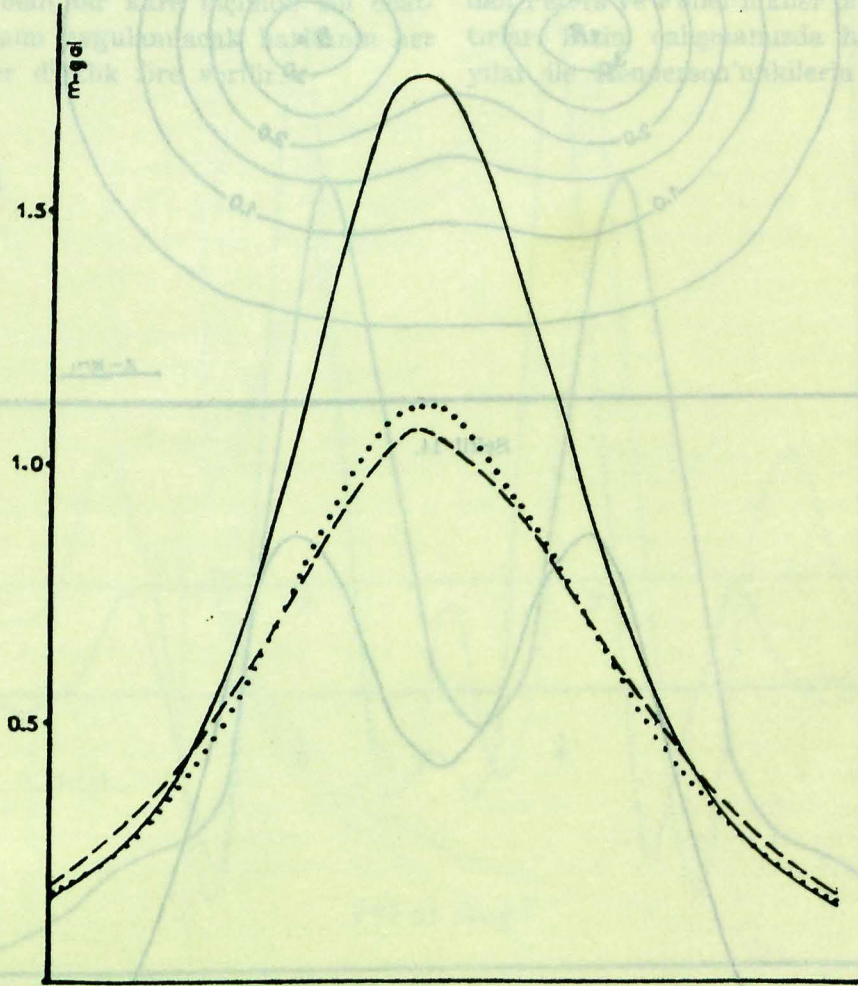
- | | | |
|---------|------------|---------------------|
| — | Teorik fay | h:2 Birim (Bouguer) |
| | Teorik fay | h:3 Birim |
| - - - - | Wiener'le | h:3 Birim |

KARŞILAŞTIRMALAR

Bu çalışmada hazırlanan aşağı ve yukarı analitik uzanım katsayıları, daha önce yapılmış olan bazı aşağı ve yukarı analitik uzanım katsayıları ile karşılaştırılarak, birbirlerine göre olan başarı ve başarısızlıkları, avantaj ve dezavantajları şu şekilde gösterildi.

Karşılaştırılan analitik uzanımlar şunlardır.

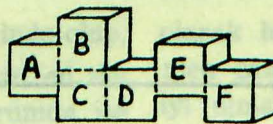
- Peters'in aşağı ve yukarı analitik uzanım katsayıları.
- Fuller'in aşağı ve yukarı analitik uzanım katsayıları.
- Henderson'un aşağı ve yukarı analitik uzanım katsayıları.



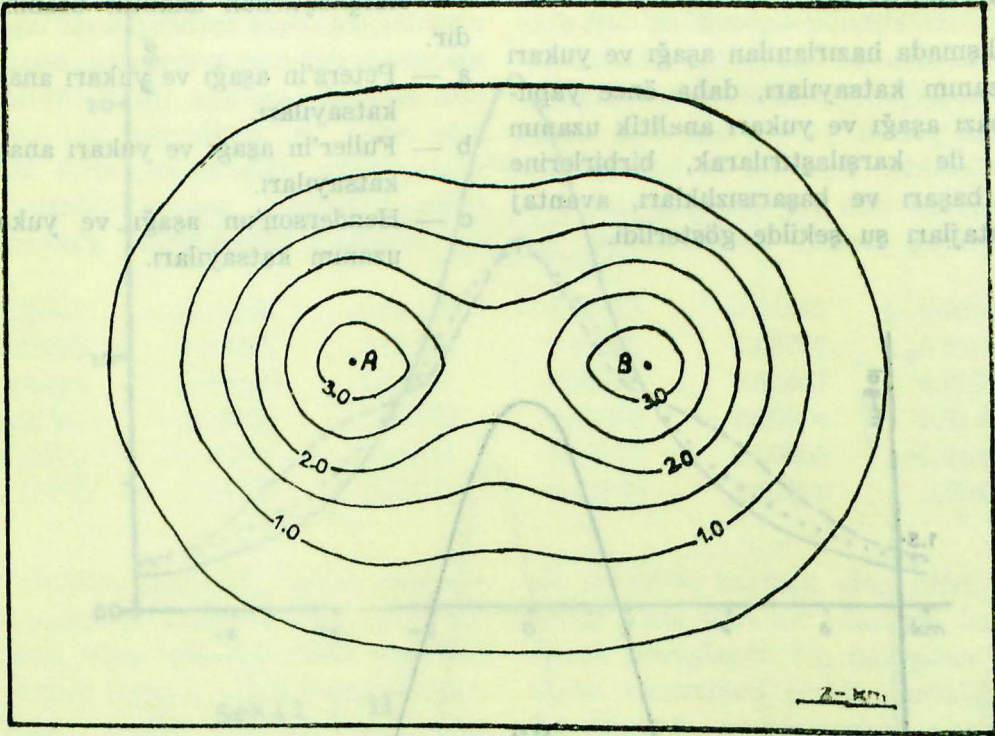
Şekil : 13

Yoğunluklar

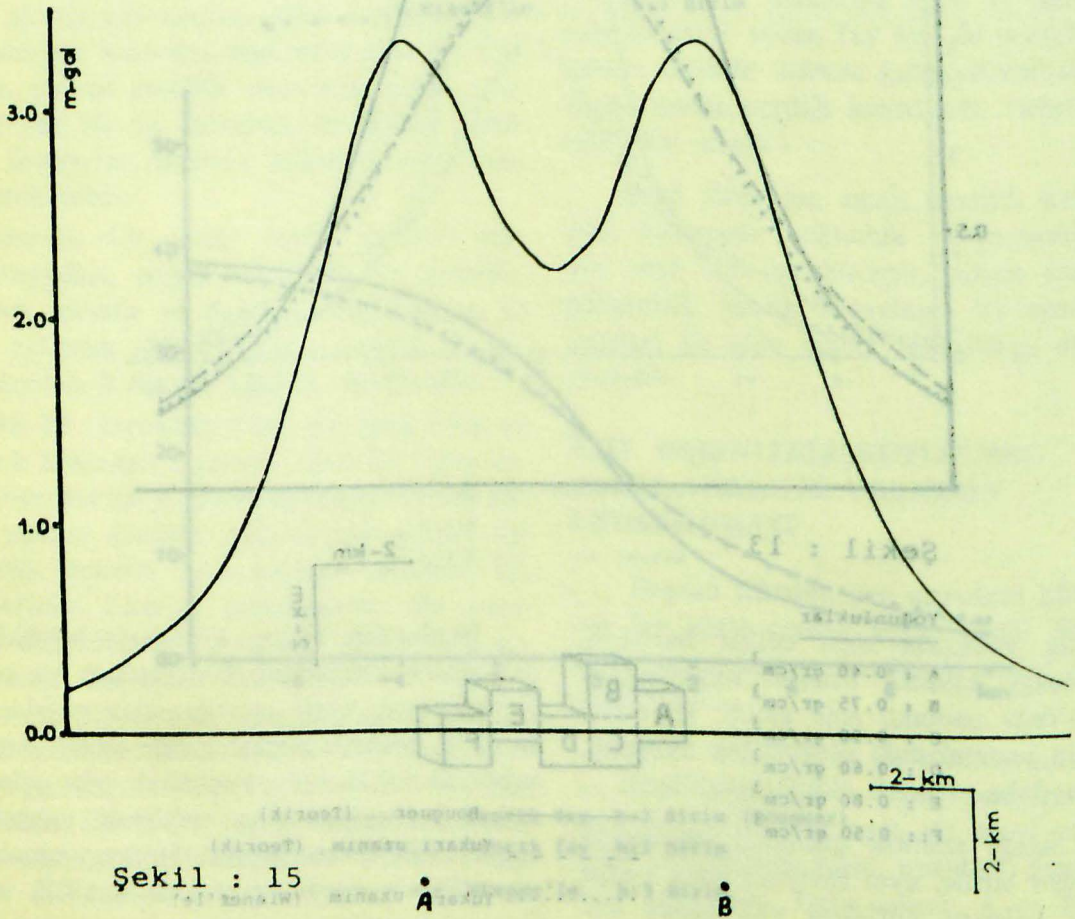
- A : 0.40 gr/cm³
 B : 0.75 gr/cm³
 C : 0.90 gr/cm³
 D : 0.60 gr/cm³
 E : 0.80 gr/cm³
 F : 0.50 gr/cm³



- Bouguer (Teorik)
 - - - - - Yukarı uzanım (Teorik)
 Yukarı uzanım (Wiener'le)



Şekil 14.



Şekil : 15

A

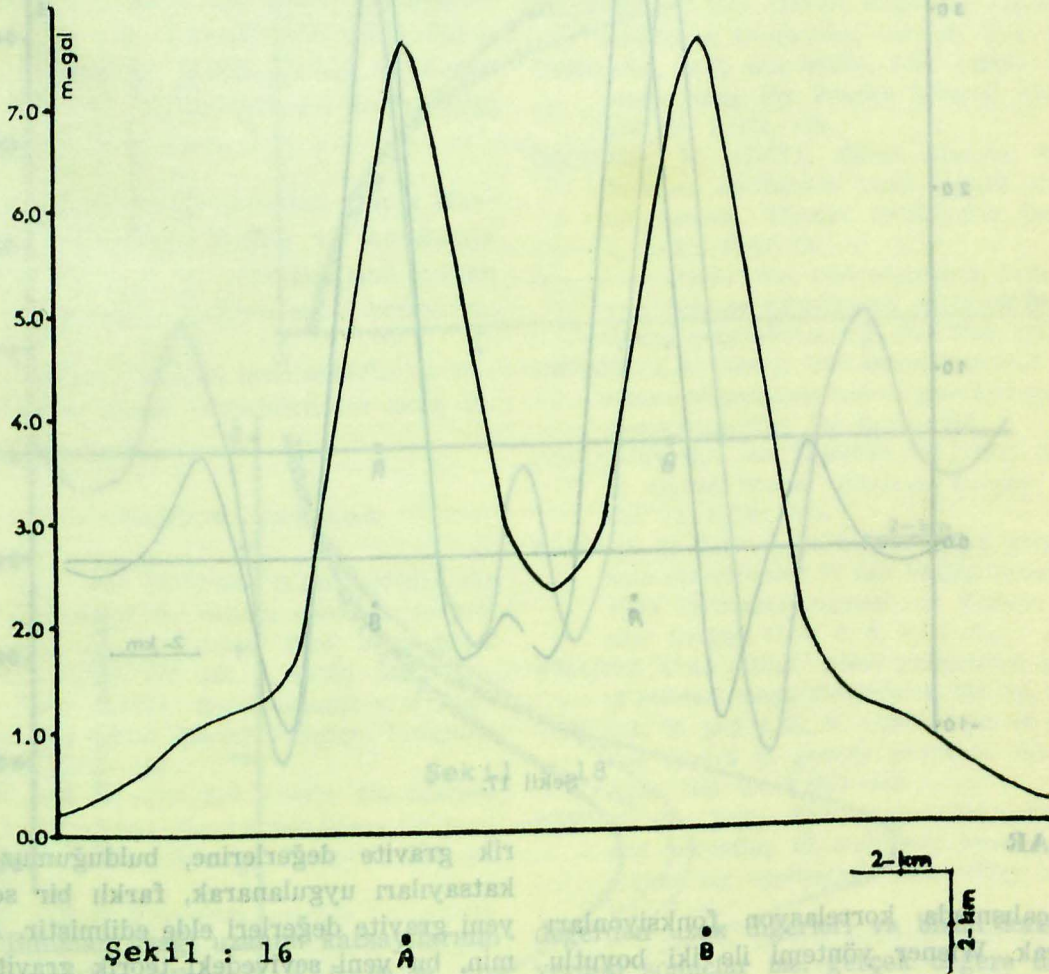
B

Analitik uzanım, türev ve filtreleme gibi konvolüsyonla yapılan işlemlerde, katsayıların boyutlarına bağlı olarak, haritanın kenarlarından bir miktar fire verildiği bilinmektedir. Hazırlanılan katsayıların iyi netice vermesi istenirken, diğer taraftanda harita kenarlarından verilen firenin en az olması istenir. Bu çalışmadaki karşılaştırmalar bu yönlerden yapıldı.

Çalışmamızda hazırlanılan katsayılar, ebatları (11×11) olan bir kare biçimdi. Bu ebatlara göre, uzanım uygulanacak haritanın her kenarından 5'er dijittik fire verilir.

Henderson'unkinde ise, katsayılar Peters'ininki gibi daireler üzerine dizilmiş olup, en dış dairenin yarıçapı $S\sqrt{625}$ 'tir. En fazla kayıp bunda olup, her kenarda tam 25'er dijittir.

Yukarıda bahsedilen katsayıların uygulaması (Şekil 19) ve (Şekil 20)'de gösterildi. (Şekil 19)'da, derinliği 4 dijitt olan bir küre haritasına, yukarıda sözü edilen 4 gurup aşağı analitik uzanım katsayıları uygulandı. Bunlardan Peters ve Fuller'inkiler doğrudan çok uzaktırlar. Bizim çalışmamızda hazırlanılan katsayılar ile Henderson'uninkilerin neticeleri, teorik



Şekil 16

Peters'in katsayıları daireler üzerinde olup, yarıçapı $S\sqrt{125}$ (S: dijitt aralığı) olan en dış daireye kadar yayılmaktadır. Bu durumda ise haritanın her kenarından tam 10'ar dijitt fire verilmektedir.

Fuller'in katsayıları da (13×13) ebatlı kare biçimde olup, kaybedilen kısım, her kenarda 6'şar dijittir.

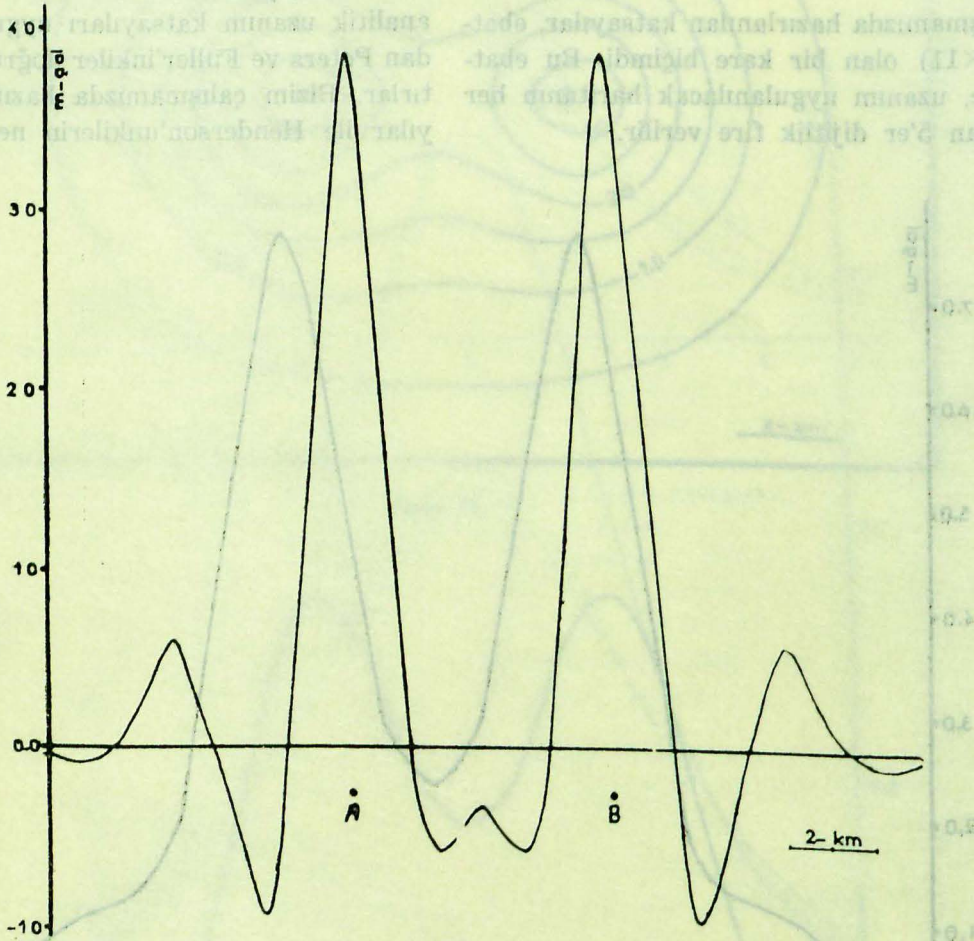
olarak hazırlanılan aşağı uzanımla hemen hemen çakışmaktadır. İkisinin neticeside çok iyi olmasına rağmen, biraz önce bahsedildiği gibi Henderson'un katsayıları harita kenarından çok fazla (25 dijitt) fire verdiği için tercih edilmez.

(Şekil 20) de ise, derinliği 3 dijitt olan bir küre haritasına, gene 4 gurup yukarı analitik

uzanım katsayıları uygulandı. Bunlardan Fuller'inki, gene doğrudan çok uzak olduğu için tercih edilmez. Diğer 3 gurup ise, teorik olarak hazırlanılan yukarı uzanımına çok yakındır. Ama, boyut olarak en küçük olanı bizim çalışmamızda hazırlanılan katsayılar olduğu için tercih edilmelidirler.

rumunda yapılacak olan şey, ya istenilen çıkış değerlerini değiştirmek, veya giriş değerlerini değiştirmek, veyahutta her ikisini birden değiştirerek, hata miktarını sifıra yaklaştırmaya kadar yapılan işlemleri tekrarlamaktır.

Kullanılan metodun sıhhatinin kontrolü için belirli bir seviyede alınan bir cismin teo-



Şekil 17.

SONUÇLAR

Bu çalışmada korrelasyon fonksiyonları kullanılarak, Wiener yöntemi ile iki boyutlu yukarı ve aşağı analitik uzanım katsayıları birbirlerinden bağımsız olarak hesaplanmış ve uygulamaya konulmuştur. Bulunan analitik uzanım katsayılarının geçerli sayılıp sayılmayacağı hususu, yapılan hatanın büyüklüğüne bağlıdır. Hata miktarının 1'e yakın veya 1'e eşit olması halinde, bulunan uzanım katsayıları % 100 hatalıdır. Bu hatanın büyük olması du-

rik gravite değerlerine, bulduğumuz uzanım katsayıları uygulanarak, farklı bir seviyedeki yeni gravite değerleri elde edilmiştir. Aynı cismin, bu yeni seviyedeki teorik gravite değerleri de hesaplanarak, birbirleri ile mukayese edilmiştir. Bu mukayese sonucunda, elde edilen heriki gravite değerlerinin, ya birbirlerine eşit veya birbirlerinden çok az farklı olduğu görülmüştür. Bu hesaplama ve kıyaslama usulü, çeşitli derinlikteki cisimler için birçok defa tekrar edilerek, kullanılan metodun sıhhati kontrol edilmiştir.

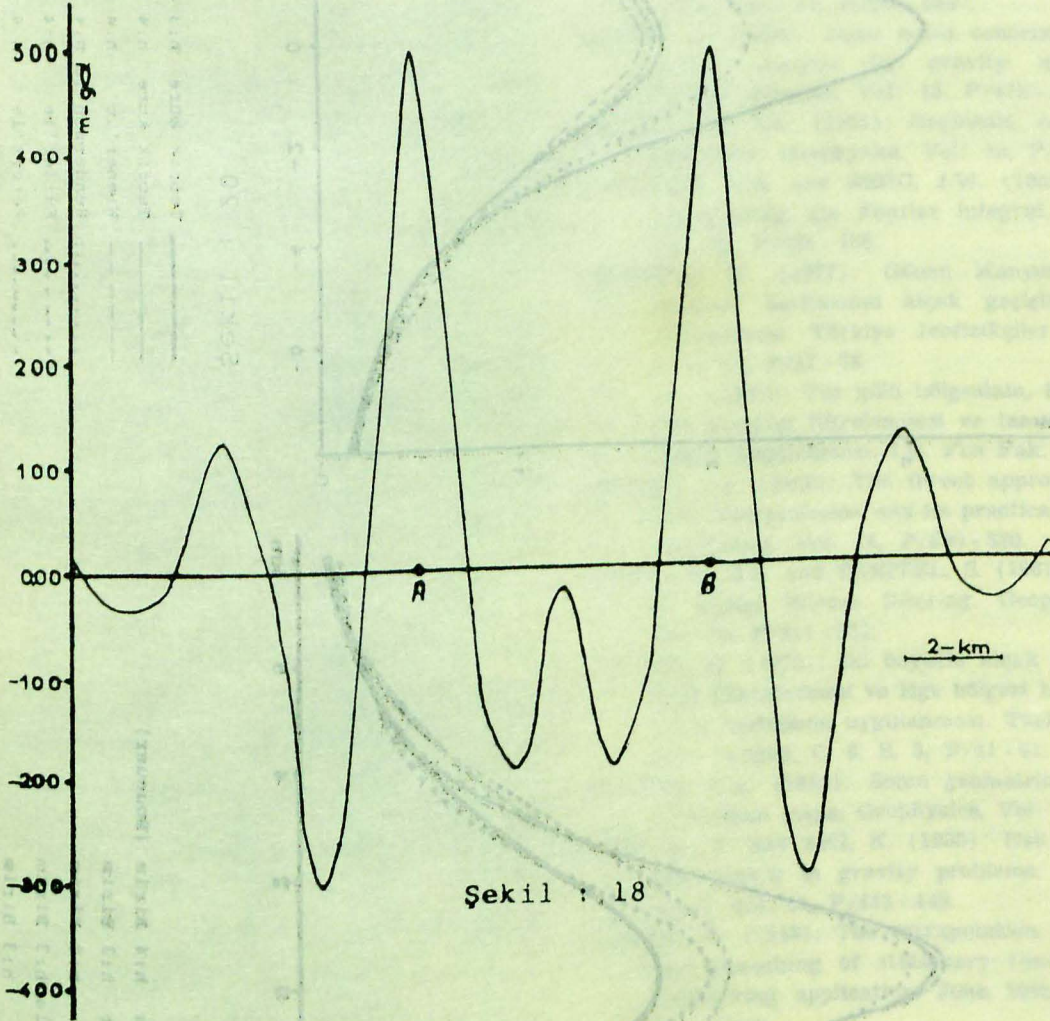
Bu çalışmada elde edilen sonuçlar, aşağıda maddeler halinde gösterilmiştir.

1 — Sismikte tek boyutlu olarak kullanılan Wiener filtre tekniği, iki boyutlu olarak gravite ve manyetik sahalarında uygulamaya konulmuştur.

2 — Sayısal Wiener filtre tekniği ile, birer birimlik (1 km) yukarı ve aşağı uzanım katsayıları elde edilmiştir.

5 — Aşağı uzanım uygulamalarının tümü göz önüne alındığında, yeraltındaki aranan kütlelerin derinliğinin bulunabileceği anlaşılmaktadır.

6 — Bizim bulduğumuz analitik uzanım katsayıları ile, Peters, Fuller ve Henderson'un katsayılarının sonuçlarını mukayese için, (Şekil 19-20) de grafikler çizilmiştir. Bu şekillerden görüleceği gibi, Fuller'in sonucu gerçek



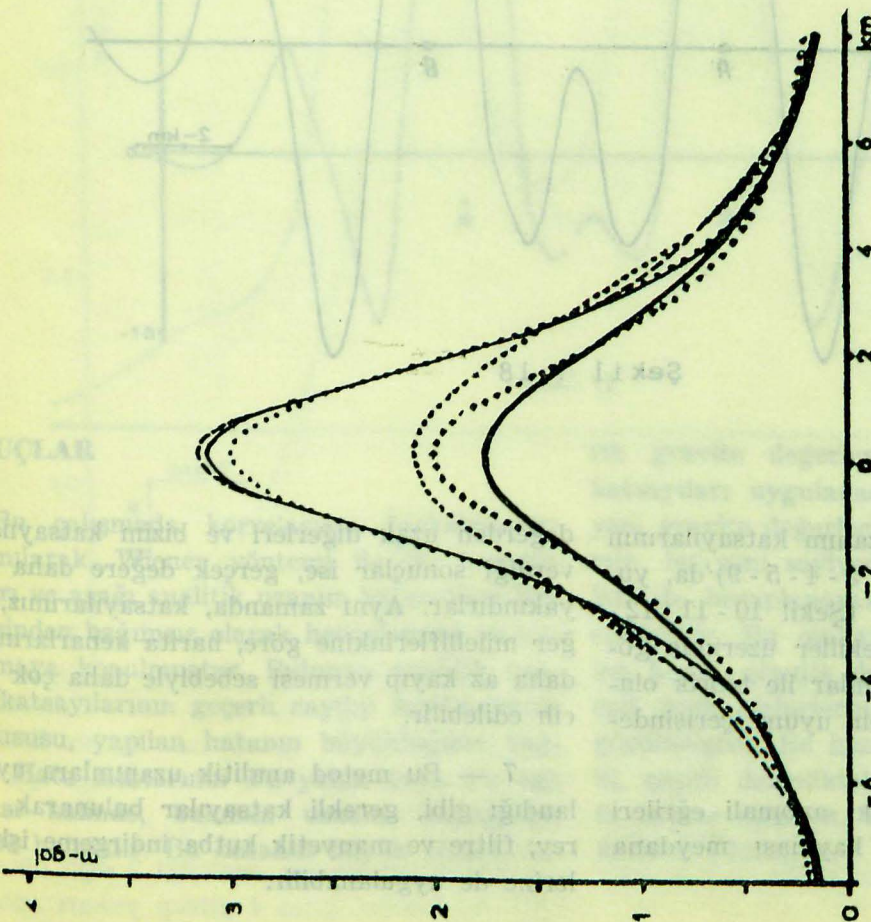
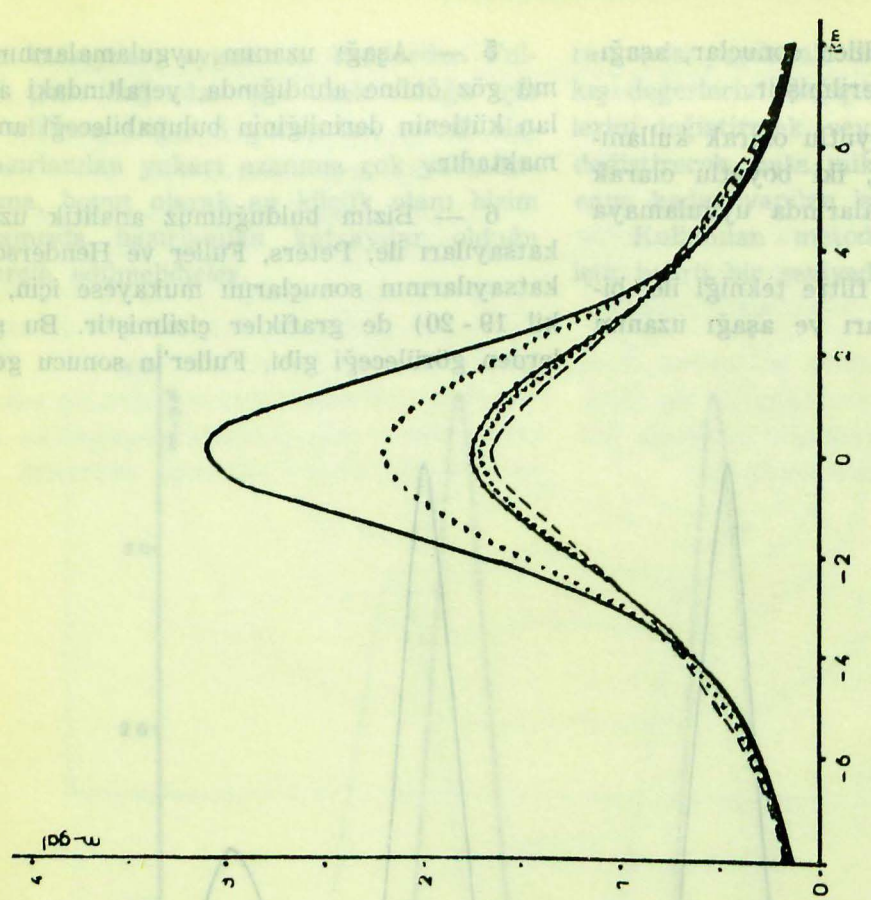
Şekil : 18

3 — Bulunan aşağı uzanım katsayılarının uygulama sonuçları, (Şekil 3-4-5-9)'da, yukarı uzanım sonuçları ise, (Şekil 10-11-12-13)'te gösterilmiştir. Bu şekiller üzerinde görüldüğü gibi, yapılan uzanımlar ile teorik olarak bulunan değerler iyi bir uyum içerisindedirler.

4 — Şekiller üzerindeki anomali eğrileri incelendiğinde, hiçbir faz kayması meydana gelmediği görülür.

değerden uzak diğerleri ve bizim katsayıların verdiği sonuçlar ise, gerçek değere daha çok yakındırlar. Aynı zamanda, katsayılarımız, diğer müelliflerinkine göre, harita kenarlarından daha az kayıp vermesi sebebiyle daha çok tercih edilebilir.

7 — Bu metod analitik uzanımlara uygulandığı gibi, gerekli katsayılar bulunarak, türev, filtre ve manyetik kutba indirgeme işlemlerine de uygulanabilir.



TEŞEKKÜR

Bu çalışmanın, gerek konusunun seçiminde, gerek bir kısmının denetiminde ölçüsüz katkıları gördüğüm, fakat maalesef tamamlanmasına ömrü yetmeyen, çok değerli Hocam Merhum Prof. Dr. Mehmet Y. DİZİOĞLU'nun anısını burada saygıyla yadedirim.

Çalışmanın tamamlanması ve sonuçlanması safhalarında içten yardımlarını gördüğüm Sayın Hocam Prof. Dr. Nezihe TAŞKÖPRÜLÜ'ye, tezin bilimsel eleştirilerini yaparak olumlu hale gelmesinde önemli katkıları gördüğüm Sayın Prof. Dr. A. Yüksel ÖZEMRE, Sayın Prof. Dr. Sabahattin ÇAĞLAYAN ve Sayın Doç. Dr. Mustafa ÖZDEMİR'e en derin saygı ve teşekkürlerimi sunarım.

Ayrıca değerli yardımlarından dolayı Haydar Furgaç Elektronik Hesap ve Araştırma Merkezi görevlilerine ve daktilolarımı yazan Nilây Alpasü'ye içten teşekkürlerimi belirtirim.

Daima çalışmalarımda beni sabırla ve mânen destekleyen eşime teşekkürü bir borç bilirim.

YARARLANILAN KAYNAKLAR

- BULLARD, E.C., and COOPER, R.I.B. (1948): The determination of the masses necessary to produce a given gravitational field. Proc. Royal Soc. of London, Vol. 194 A, P/332 - 347.
- CLEMENT, W.G. (1973): Basic principles of two-dimensional digital filtering. Geophys. Prospect., Vol. 21, P/125 - 145.
- DARBY, E.K. and DAVIES, E.B. (1967): The analysis and design of two-dimensional filters for two-dimensional data. Geophys. Prospect. Vol. 15, P/383 - 406.
- DEAN, W.C. (1958): Frequency analysis for gravity and magnetic interpretation. Geophysics, Vol. 23, P/97 - 127.
- FULLER, B.D. (1967): Two-dimensional frequency

analysis and design of grid operators. Mining Geophys. Vol. 2, P/658 - 708, Society of Exploration Geophysicists. Tulsa, Oklahoma.

- GUN, P.J. (1972): Application of Wiener filters to transformations of gravity and magnetic field. Geophys. Prospect. Vol: 20, P/860 - 871/.
- HENDERSON, R.G. and ZIETS, I. (1949-a): The computation of second vertical derivatives of geomagnetic fields. Geophysics. Vol: 14, P/508 - 516/.
- (1949-b): The upward continuation of anomalies in total magnetic intensity fields. Geophysics, Vol: 14, P/517 - 534/.
- MESKO, A. (1965): Some notes concerning the frequency analysis for gravity interpretation. Geophy. Prospect. Vol: 13, P/475 - 488/.
- NETTLETON, L.L. (1954): Regionals, residuals, and structures, Geophysics, Vol: 19, P/1 - 22/.
- ODEGARD, M.E. and BERG, J.W. (1965): Interpretation using the Fourier integral. Geophysics. Vol. 30, P/424 - 438.
- ÖZDEMİR, M. (1977): Gönen - Manyas bölgesinin Bouguer haritasının alçak geçişli süzgeçlerle filtrelenmesi. Türkiye Jeofizikçiler Dergisi, C. 6, S. 2, 3 P/57 - 78.
- (1978): Tuz gölü bölgesinin, Bouguer gravite alanının filtrelenmesi ve temel yapı derinliğinin araştırılması. İ.Ü. Fen Fak. (Doç. Tezi).
- PETERS, L.J. (1949): The direct approach to magnetic interpretation and its practical application. Geophysics. Vol. 14, P/290 - 320.
- ROBINSON, E.A. and TREITEL, S. (1967): Principles of digital Wiener filtering. Geophy. Prospect. Vol. 15, P/311 - 333.
- SANVER, M. (1975): İki boyutlu alçak geçişli filtrelerin düzenlenmesi ve Ege bölgesi havadan manyetik haritasına uygulanması. Türkiye Jeofizikçiler Dergisi, C. 6, S. 3, P/41 - 61.
- SWARTZ, C.A. (1954): Some geometrical properties of residual maps. Geophysics, Vol. 19, P/46 - 70.
- TOMODA, Y. and AKI, K. (1955): Use of the function Sinx/x in gravity problems. Proc. Japan Acad. Vol. 31, P/443 - 448.
- WIENER, N. (1949): The extrapolation, interpolation and smoothing of stationary time series with engineering application. John Wiley and Sons, New York.
- ZURFLUEH, E.G. (1967): Application of two-dimensional linear wavelength filtering. Geophysics, Vol. 32, P/1015 - 1035.

TEŞEKKÜR

analysis and design of grid operators. *Mathematical Geophysics*, Vol. 2, P. 688-708, Society of Applied Geophysicists, Tulsa, Oklahoma.

GUN, P. J. (1972): Application of Wiener filters to transformations of gravity and magnetic field. *Geophys. Prospecting*, Vol. 20, P. 899-911.

HENDERSON, R. G. and SHUTE, I. (1968a): The computation of second vertical derivatives of geomagnetic fields. *Geophysics*, Vol. 33, P. 588-594.

(1968b): The upward continuation of anomalies in total magnetic intensity fields. *Geophysics*, Vol. 33, P. 517-521.

MERSON, A. (1965): Some notes concerning the frequency analysis for gravity interpretation. *Geophys. Prospecting*, Vol. 13, P. 475-483.

NETTLETON, L. J. (1964): Regional residuals and structures. *Geophysics*, Vol. 29, P. 1-12.

ODDARD, M. E. and BEIG, J. W. (1968): Interpretation using the Fourier integral. *Geophysics*, Vol. 33, P. 421-438.

ÖZDEMİR, M. (1977): Özden-Manyağ bölgesinin Boğaziçi haritasının jeolojik ve jeofizik özellikleri. *Yüksek Lisans Tezi, Jeolojik Mühendislik Fakültesi, İstanbul Teknik Üniversitesi, İstanbul*, 202 s. 2.3.1-78.

(1978): Topoğrafik haritasının jeofizik ve jeolojik yorumlanması ve jeolojik haritasının elde edilmesi. *İTÜ Jeolojik Mühendislik Fakültesi, İstanbul*, 111 s. 2.3.1-78.

PETERS, L. J. (1969): The direct approach to magnetic interpretation and its practical application. *Geophysics*, Vol. 34, P. 390-393.

ROBINSON, K. A. and TREITEL, S. (1967): Principles of digital Wiener filtering. *Geophys. Prospecting*, Vol. 15, P. 311-323.

SAVNER, M. (1967): İki boyutlu alan eğitimi üzerine bir dizi deneme ve Ege bölgesi hakkında jeofizik haritasının uygulanması. *Türkiye Jeolojik Mühendislik Fakültesi, İstanbul*, 202 s. 2.3.1-78.

SWARTZ, C. A. (1964): Some geometrical properties of residual maps. *Geophysics*, Vol. 29, P. 46-70.

TOMODA, Y. and AKI, K. (1955): Use of the four-point method in gravity problems. *Proc. Japan Acad.*, Vol. 31, P. 442-443.

WIENER, N. (1949): The extrapolation, interpolation and smoothing of stationary time series with application to spectral analysis. *John Wiley and Sons*, New York.

ZERLÉN, E. C. (1957): Application of two-dimensional linear wavelets filtering. *Geophysics*, Vol. 32, P. 1015-1020.

Bu çalışmanın gerek konusunu ve gerekse de, gerek bir kısmının detaylarında görüşlerimi ile ilgili görüşlerimi, fakat özellikle haritaların hazırlanmasında yardımcı olanlar ve özellikle Merham Prof. Dr. Mehmet Y. BİNGÖL'ün bana bu konuda sağladığı yardımlarına

çalışmamın tamamlanması ve sonuçlandırılması için yardımlarını gördüğüm ve özellikle Merham Prof. Dr. Mehmet Y. BİNGÖL'ün, Şayan Hocam Prof. Dr. Mustafa ÖZDEMİR'ün, ve tezin diğer konularını yaparken önüme hale getiren diğer arkadaşlarıma teşekkür ederim. Şayan Hocam Prof. Dr. Mustafa ÖZDEMİR, Şayan Prof. Dr. Şabanhan ÇAĞLAYAN ve Şayan Doç. Dr. Mustafa ÖZDEMİR'ın bu konuda sağladıkları yardımlarına teşekkür ederim.

Ayrıca değerli yardımlarından dolayı Havadar, Fırat Elektrik Harap ve Araplar Merkezini görevlendirip ve desteklerinden yararlanan Albayrak'ın değerli katkılarına

Daima çalışmalarında beni destekleyen ve beni destekleyen şahıslara teşekkür ederim. Bu çalışmamın tamamlanmasında bana yardımcı olan ve destekleyen şahıslara teşekkür ederim. Bu çalışmamın tamamlanmasında bana yardımcı olan ve destekleyen şahıslara teşekkür ederim.

YARARLANILAN KAYNAKLAR

BULLARD, E. C. and COOPER, R. F. (1948): The determination of the mass necessary to produce a given gravitational field. *Proc. Royal Soc. London*, Vol. 194, P. 323-327.

CLEMENT, W. G. (1973): Basic principles of geophysical digital filtering. *Geophys. Prospecting*, Vol. 21, P. 123-145.

DARBY, E. L. and DAVIES, E. R. (1967): The analysis and design of two-dimensional filters for two-dimensional data. *Geophys. Prospecting*, Vol. 15, P. 381-405.

DEAN, W. G. (1968): Frequency analysis for gravity and magnetic interpretation. *Geophysics*, Vol. 33, P. 1015-1020.

FULLER, E. D. (1967): Two-dimensional frequency

